



نقشه‌برداری

ماهنامه علمی و فنی سازمان نقشه‌برداری کشور

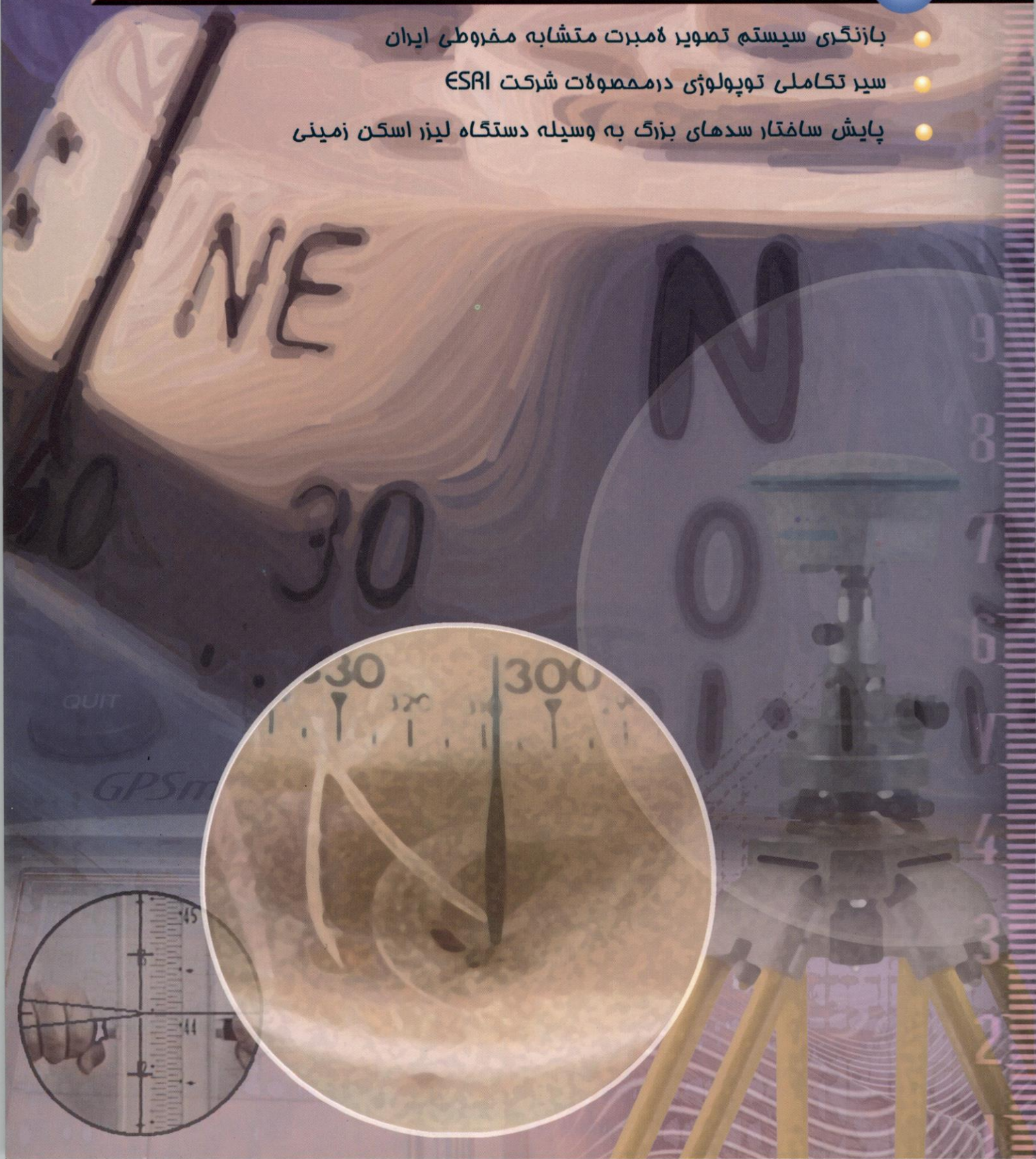
سال بیستم، شماره ۳ (پیاپی ۱۰۳) مرداد ماه ۱۳۸۸ شماره استاندارد بین‌المللی ۵۲۵۹ - ۱۰۴۹

۱۰۳

بازنگری سیستم تصویر لامبرت متشابه مفروطی ایران

سیر تکاملی توپولوژی دامنه مخصوص شرکت ESRI

پایش ساختار سدهای بزرگ به وسیله دستگاه لیزد اسکن زمینی



اطلس آموزشی جغرافیا (۱)



سازمان نقشه برداری کشور

دوره راهنمایی تحصیلی

سازمان نقشه برداری کشور
منتشر کرد:

اطلس آموزشی جغرافیا
جلد ۱ و جلد ۲

Design:M.Ahmadi

■ فروش اینترنتی : www.ncceshop.ir

■ تلفن امور مشتریان : ۶۶۰۷۱۱۰۵

با همکاری سازمان پژوهش و برنامه ریزی آموزشی وزارت آموزش و پرورش

نقشه‌برداری

شماره استاندارد بین المللی: ۱۰۲۹-۵۲۵۹

ISSN: 1029-5259

Volume 20 Number 103

August 2009

ماهnamه علمی - فنی
سال بیست (۱۳۸۸) شماره ۳ (پیاپی ۱۰۳)
مرداد ماه ۱۳۸۸
صاحب امتیاز: سازمان نقشه‌برداری کشور

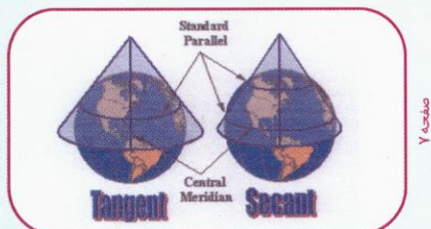
بِسْمِ اللّٰہِ الرَّحْمٰنِ الرَّحِیْمِ

صفحه آرایی و گرافیک: عباس جهان‌مهر

ویرایش: سیده زندیه

تاپ رایانه‌ای: سکینه حلاج

لیتوگرافی، چاپ و صحافی: سازمان نقشه‌برداری کشور



نشانی: تهران، میدان آزادی، خیابان معراج،

سازمان نقشه‌برداری کشور

صندوق پستی: ۱۶۸۴-۱۳۸۵

تلفن اشتراک: ۰۱۰۰۱۹-۷۱۰۰۶۶

دفتر نشریه: ۰۶۰-۷۱۱۲۵-۶۶۰-۷۱۱۲۰

پست الکترونیکی: magazine@ncc.org.ir

نشانی اینترنتی: www.ncc.org.ir

فهرست

■ سرمهقاله

■ مقالات

- ۴ بازنگری سیستم تصویر لامبرت
۵ مشتابه مخروطی ایران
۶ سیر تکاملی توپولوژی در محصولات
۷ شرکت ESRI (با نگرش بر روند تولید محصولات NTDB در سازمان نقشه‌برداری کشور)
۱۴ پایش ساختار سدهای بزرگ به وسیله دستگاه لیزر اسکن زمینی

■ گزارش‌های فنی و خبری

- ۲۰ میزانی بر پارامترهای تبدیل بین سیستم‌های مختصات EDS50، ITRF و WGS84

■ آموزش

- ۳۷ اخبار و تازه‌های فناوری
۴۳ معرفی کتاب
۴۶ سمینارها و گردهمایی‌ها

شرح روی جلد:

مدیر مسئول: دکتر یحیی جمور

سردییر: مهندس سید بهداد غضنفری

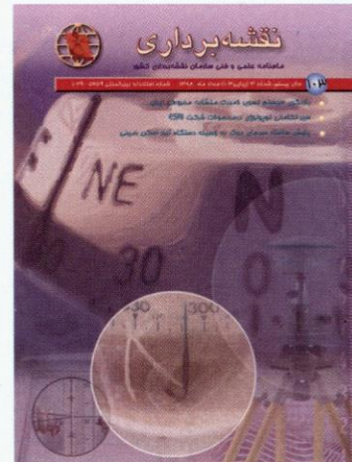
هیئت تحریریه:

دکتر یحیی جمور، مهندس سید بهداد غضنفری،
مهندس محمد سریبولکی، دکتر حمید رضا نانکلی،
دکتر غلامرضا فلاحتی، دکتر سعید صادقیان،
دکتر مرتضی صدیقی، مهندس بهمن تاج فیروز،
مهندس محمدحسن خدام‌محمدی، مهندس فرهاد
کیانی‌فر، دکتر علیرضا قاراگوزلو، دکتر فرج توکلی،
دکتر علی سلطان‌پور، مهندس باک شمعی

همکاران این شماره:

علیرضا منتظرین، محمد سریبولکی، علی سلطان‌پور،
مرتضی صدیقی، رضا احمدیه، شیرزاد روحی،
مالک ازدر صادقی‌مهر، مجید خاکساران خوش،
نیره اسماعیلی تکلیمی، علیرضا قاراگوزلو،
 محمود بخان‌پور، عباس جهان‌مهر، مسعود احمدی

اجرا: مدیریت پژوهش و برنامه‌ریزی



طراحی جلد: عباس جهان‌مهر

سرمقاله

توسعه اقتصادی یک کشور همواره با مزایای نسبی آن ارتباط مستقیم دارد. ایران کشوری است که مزایای نسبی بسیاری دارد. منابع زیرزمینی، شرایط زیست محیطی، جاذبه‌های توریستی، موقعیت خاص ژئوپلیتیکی عوامل مهم در مزایای نسبی کشور عزیzman به شمار می‌آیند. اما دیگر سوی این مزایای نسبی، نیروی انسانی است. می‌توان ادعا کرد که مهمترین عامل تعیین کننده در پیشرفت ایران و هر کشوری از جهان نیروی انسانی آن است.

به طور کلی توسعه انسانی مهمترین وظیفه یک دولت است تا در نتیجه آن بتواند به توسعه همه جانبه، از جمله توسعه اقتصادی و اجتماعی دست یابد.

توسعه انسانی با گسترش علم توأم است. گسترش علم در هر جامعه تلاش تمامی نهادها و افراد جامعه را می‌طلبد چرا که بدون برنامه‌ریزی هدفمند و تلاش مستمر هیچ گاه نمی‌توان پایه‌های اصولی علم و دانش را در جامعه تقویت کرد. آنچه در دنیای صنعتی و پیشرفته امروز اتفاق افتاده است؛ تنها استفاده درست از نیروی انسانی و افراد نخبه در انجام امور علمی، پژوهشی و اقتصادی بوده است.

نکته‌ای که به طور خاص در حیطه علوم ژئوماتیک و نقشه‌برداری حائز اهمیت است و باید به صورت جدی تر بدان پرداخته شود؛ ایجاد امکان استفاده از نیروهای متخصص و کارآمد در امر تهیه نقشه و نقشه‌برداری است. این امر در صورتی امکان‌پذیر خواهد بود که در ساختار، ترکیب و سازماندهی دستگاه‌های دست‌اندرکار تجدید نظر اساسی شود. چرا که وجود دستگاه‌های موازی تهیه اطلاعات تصویری و نقشه‌ای در کشور ما و دوباره کاری‌ها، هر یک از معضلاتی است که باید مجدانه بدان اندیشید و در این خصوص نیز از الگوهای پیشرفته در سایر کشورها برای سازماندهی مجدد مراکزی که اطلاعات مکانی تهیه می‌کنند استفاده کرد.

بازنگری سیستم تصویر لامبرت متشابه مخروطی ایران

نویسندها:

رئیس اداره نقشه‌برداری زمینی، سازمان نقشه‌برداری کشور

montazerin@ncc.org.ir

مهندس علیرضا منتظری

رئیس هیئت مدیره انجمن علمی نقشه‌برداری و ژئوماتیک ایران

sarpoulaki@ncc.org.ir

مهندس محمد سرپولکی

رئیس اداره فیزیکال ژئودزی، سازمان نقشه‌برداری کشور

soltanpour@ncc.org.ir

دکتر علی سلطانپور

معاون اداره ژئودزی و ژئوبینامیک، سازمان نقشه‌برداری کشور

sedighi@ncc.org.ir

دکتر مرتضی صدیقی

چکیده

تعیین دقیق ترین و مناسب ترین سیستم‌های تصویر برای هر کشور یکی از مهم‌ترین اهداف علوم مهندسی مرتبط با زمین بالاخص ژئودزی و کارتوگرافی ریاضی است. این سیستم‌ها بسته به هدف استفاده به چندین گروه مختلف تقسیم می‌شوند و در موارد گوناگون دارای کاربری‌های بسیاری در شاخه‌های کارتوگرافی، نقشه‌برداری، ژئودزی، معدن، دریانوردی، جغرافیا، کشاورزی، منابع طبیعی، شهرسازی و کاداستر و حتی علوم نظامی، استراتژیک و بالستیک می‌باشند. بی‌شک به دلیل ثبات و تشابه شکل (زوايا) در عمل تصویر از روی سطح (بیضوي) به روی نقشه، مهم‌ترین و کاربردی ترین نوع سیستم‌های تصویر، سیستم‌های متشابه (Conformal) است و به دلیل توانایی سیستم تصویر مخروطی متشابه لامبرت در نمایش یکپارچه بخش‌های وسیعی از یک منطقه و حتی کل زمین، به عنوان یکی از مهم‌ترین سیستم‌های متشابه شناخته می‌شود. بنابراین، در این جا به ارزیابی و بهبود سیستم تصویر لامبرت متشابه مخروطی در محدوده مرزهای جغرافیایی کشور پرداخته می‌شود.

پس از معرفی سیستم تصویر مخروطی متشابه لامبرت (LCC) با مدارات استاندارد 3° و $3^{\circ}36'$ درجه در اواسط دهه ۷۰ شمسی توسط برخی از متخصصان کارتوگرافی وقت سازمان و با گسترش و پیشرفت روزافزون امکانات نرم افزاری و سخت‌افزاری محاسباتی، ارزیابی و تحلیل مجدد این سیستم در دستور کار قرار گرفت. در این مقاله، به منطبق ترین حالت سیستم تصویر LCC بر سطح بیضوي مقایسه (WGS84) در کشور بر اساس مطالعات آماری روی ضرایب مقیاس و تقارب نصف‌النهارات در این سیستم، پرداخته شده است. با محاسبه ضرایب مقیاس در مرکز 10404 سلول تسرا $7/5$ در $7/5$ دقیقه بر مبنای 182 حالت مختلف از مدارات استاندارد (با تغییرات نیم درجه) و انجام پردازش‌های آماری بر روی آنها، در نهایت مدارات استاندارد 29 و 36 درجه و نیز نصف‌النهار مبدأ $54/5$ درجه به عنوان مناسب ترین حالت این سیستم تصویر در محدوده مرزهای ایران معرفی گردیده است.

واژگان کلیدی : سیستم تصویر، تصویر مخروطی متشابه لامبرت، مدارات استاندارد، ضریب مقیاس، تقارب نصف‌النهارات

جا دارد پارامتری های تعیین شده این سیستم، مجدداً ارزیابی و در صورت نیاز بازنگری گردد. لذا در این مقوله، با در نظر گرفتن ۱۰۴۰۴ سلول ۷/۵ در ۷/۵ (معادل با تعداد و ابعاد نقشه های پوششی ۲۵۰۰۰ کشور که پوشش دهنده تمام محدوده جغرافیایی ایران است) بر روی معتبرترین روش مقایسه (مرجع) بین المللی یعنی بیضوی WGS84، با محاسبه ضرایب مقیاس و تقارب نصف النهارات در مرکز هر سلول و انجام تحلیل های آماری برروی آنها سیستم تصویر لامبرت متشابه در گستره جغرافیایی کشور مورد بازنگری و بهبود قرار گرفت. علت انتخاب سلول هایی با ابعاد نقشه های پوششی ۲۵۰۰۰، مزیت محاسبه کمیت های ضریب مقیاس و تقارب نصف النهارات در مرکز هر برگ نقشه و نیز تشکیل مجموعه اطلاعاتی با ابعاد بسیار بزرگ همراه با پوشش تمام کشور توسط این سلول ها می باشد.

۲. سیستم تصویر متشابه مخروطی لامبرت (LCC)

این سیستم تصویر به همراه سیستم تصویر ترانسسورس مرکاتور در سال ۱۷۷۲ میلادی توسط یوهان هنریخ لامبرت ابداع شد. هدف از تعریف این سیستم، نخست پوشش نواحی قطبی توسط سیستم های تصویر بود زیرا سیستم های استوانه ای موجود از تصویر نمودن نواحی قطبی زمین با دقت بالا (اعوجاج کم) عاجز بودند. بدین ترتیب با فرض مماس شدن (Tangent) یک مخروط بر کره (بیضوی) زمین به گونه ای که راس مخروط در امتداد محور دوران (قطبین) زمین قرار دارد، این سیستم تعریف شد. در این حالت، محل تماس، یکی از مدارات کره (بیضوی) زمین خواهد بود. به این مدار، مدار استاندارد گفته می شود که مداری با ضریب مقیاس واحد (یک) است. در طول این مدار مقیاس ثابت بوده و هیچ اعوجاج طولی دیده نمی شود و مسلمانما با دور شدن از مدار استاندارد به سمت قطبین، اعوجاج طولی افزایش می یابد. بنابراین، بهترین حالت برای تعریف این سیستم، تقاطع (Secant) مخروط با کره (بیضوی) است. در این مورد، دو مدار استاندارد به وجود آمده و در نهایت منطقه بین دو مدار و طرفین دو مدار از

۱. مقدمه

یکی از مهم ترین مباحث علوم ریاضی و هندسی مرتبط با زمین از جمله ژئودزی و کارتوگرافی ریاضی، مبحث سیستم های تصویر است. این سیستم ها که به منظور انتقال کمیت های هندسی از سطح رویه مقایسه (کره، بیضوی و ...) به سطح مستوی تصویر (نقشه) به وجود آمده اند، به دو گروه اصلی زیر تقسیم می شوند:

الف - بسته به ویژگی های هندسی تابع تصویر کننده:

۱. سیستم های تصویر استوانه ای (CYLINDRICAL PROJECTIONS)

۲. سیستم های تصویر مخروطی (CONICAL PROJECTIONS)

۳. سیستم های تصویر صفحه ای یا آزیموتی (AZIMUTHAL PROJECTIONS)

ب - بسته به کمیت های هندسی که در انتقال از سطح رویه مقایسه به صفحه نقشه ثابت می مانند:

۱. سیستم های تصویر هم زاویه یا متشابه (CONFORMAL)

۲. سیستم های تصویر هم مساحت (EQUAL AREA)

۳. سیستم های تصویر هم فاصله (EQUAL DISTANCE)

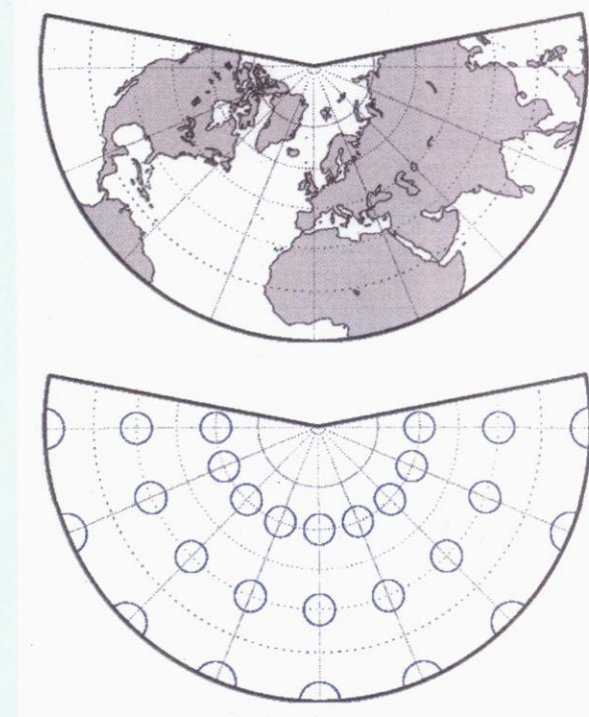
از آنجا که در سیستم های تصویر متشابه، شکل انتقال یافته (زوايا) ثابت می ماند، این نوع سیستم تصویر رایج ترین سیستم تصویر در علوم زمینی به خصوص ژئودزی است. مهم ترین سیستم های تصویر متشابه مورد استفاده در علوم زمین، سیستم های تصویر استوانه ای مرکاتور (Mercator)، ترانسسورس مرکاتور (Transverse Mercator)، ترانسسورس مرکاتور جهانی (Universal Transverse Mercator) و سیستم تصویر مخروطی لامبرت (Lambert Conformal Conic) می باشد.

در اواسط دهه ۷۰ شمسی متخصصان کارتوگرافی سازمان نقشه برداری کشور برای اولین بار در کشور به تعیین یک سیستم تصویر متشابه و محاسبه پارامترهای آن برای نمایش نقشه کشور به صورت یکپارچه و یا بخش هایی از کشور که در محدوده نسبتاً وسیعی واقع می گردد، اقدام نمودند. تعیین این سیستم تصویر با پارامترهای مربوطه به بهبود قابل توجهی در نمایش یکپارچه کشور منجر گردید. اکنون با گسترش امکانات نرم افزاری، سخت افزاری و محاسباتی و پس از گذشت بیش از یک دهه از اقدام انجام گرفته

در صورت استفاده از φ_1 و φ_2 در معادلات m و t به ترتیب مقادیر m_1, m_2, t_1, t_2 و n محاسبه می‌گردد و در نهایت می‌توان ضریب مقیاس (K) را در هر مدار دلخواه (φ) تعیین نمود.

یکی از مزایای محاسباتی این سیستم این است که ضریب مقیاس تنها تابعی از عرض ژئودتیک می‌باشد (برخلاف سیستم‌های استوانه‌ای)، یعنی بر روی هر مدار اندازه اوجاج طولی ثابت است.

در تصویر این سیستم، نصف‌النهارات به صورت خطوط مستقیم (همگرا در قطبین) و مدارات به صورت دوازده‌گانه با شعاع‌های مختلف دیده می‌شوند:

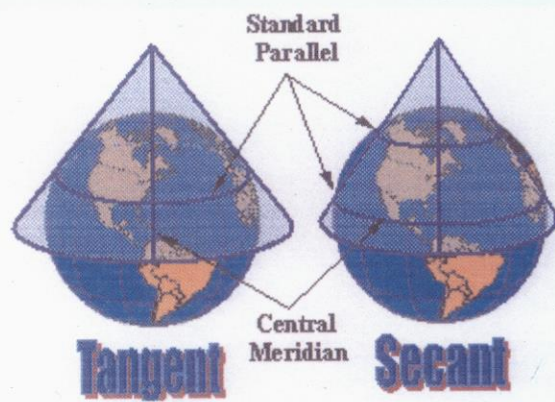


شکل ۲. تصویر سیستم Lambert Conformal Conic

۳. محاسبه ضریب مقیاس^۳ در محدوده کشور (در سیستم LCC)

در این مرحله، عرض ژئودتیک مراکز $10^{\circ}40'40''$ سلول مطابق با

اعوجاجات کمتری برخوردار خواهد بود؛ به گونه‌ای که، ضریب مقیاس بین دو مدار کمتر از واحد و طرفین دو مدار بیش از عدد یک است (شکل ۱).



شکل ۱. سیستم تصویر لامبرت متاشایه مخروطی

هر چه فاصله بین راس مخروط و قطب (ارتفاع مخروط) بیشتر باشد زاویه راس کوچک‌تر خواهد بود و مدار استاندارد به مقطع استوانه‌ای نزدیک‌تر است و بالعکس هرقدر ارتفاع مخروط کمتر باشد زاویه راس بیشتر شده، مدار استاندارد به قطب نزدیک‌تر می‌گردد. بنابراین، حالات حدی سیستم تصویر مخروطی زمانی است که مدار استاندارد منطبق بر عرض صفر درجه (استوا) و یا عرض نود درجه (قطب) باشد که در این حالات به ترتیب به سیستم تصویر استوانه‌ای (مرکاتور) و سیستم تصویر صفحه‌ای (آزمیوتال) تبدیل خواهد شد. (Snyder, 1982)

badar nazar گرفتن مدارات استاندارد φ_1 و φ_2 ، ضریب مقیاس در این سیستم تصویر از روابط زیر تعیین می‌گردد:

(۱)

$$K = \rho n / (am) = m_1 t^n / (m t_1^n)$$

$$\rho = a F t^n$$

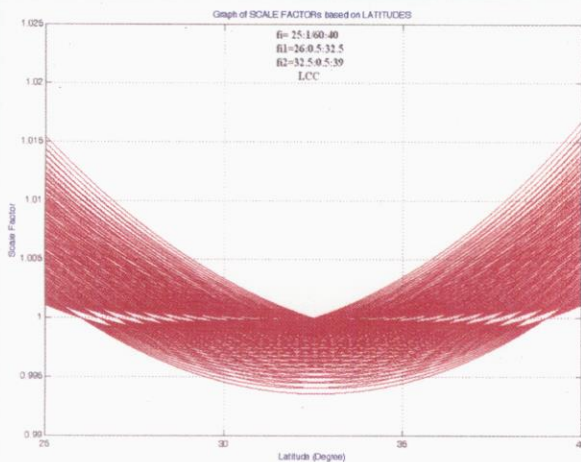
$$F = m_1 / (n t_1^n)$$

$$t = \tan(\pi/4 - \varphi/2) / \left[(1 - e \sin \varphi) / (1 + e \sin \varphi) \right]^{e/2}$$

$$m = \cos \varphi / \left(1 - e^2 \sin^2 \varphi \right)^{1/2}$$

$$n = (\ln m_1 - \ln m_2) / (\ln t_1 - \ln t_2)$$

(Krakiwsky, 1973)



شکل ۴. ضرایب مقیاس در سیستم تصویر لامبرت ایران
با 196×14 حالت مختلف از مدارات استاندارد

کمتر از عدد یک، به نواحی میان دو مدار استاندارد، بزرگتر از عدد یک، به طرفین دو مدار استاندارد و بالاخره مساوی عدد یک، دقیقاً بر روی مدارات استاندارد مربوط می‌شود.

۳.۰. مطالعه آماری کیتیت ضرایب مقیاس

با محاسبه ضرایب مقیاس برای تمامی حالات مدارات استاندارد، نوبت به بررسی آماری این اطلاعات می‌رسد. برای این منظور آماره‌هایی چون "قدر مطلق اختلاف میانگین از عدد یک (بهترین مقدار)"، "قدر مطلق اختلاف ریشه مربعی متوسط (RMS)" از عدد یک، "انحراف معیار (STD)" و بالاخره "گشتاور درجه دو حول یک (انحراف نسبت به عدد یک)" مدنظر قرار گرفته است:

$$2) |x - 1| \quad x = \frac{1}{n} \sum_{i=1}^n x_i$$

$$3) RMS - 1 \quad RMS = \sqrt{\frac{\sum_{i=1}^n x_i^2}{n}}$$

$$4) STD = \sqrt{\frac{\sum_{i=1}^n (x_i - \bar{x})^2}{n}}$$

$$5) m1 = \sqrt{\frac{\sum_{i=1}^n (x_i - 1)^2}{n}}$$

بعد نقشه‌های ۱:۲۵۰۰۰ ایران به عنوان فایل ورودی به برنامه معرفی می‌شود (مطابق شکل ۳).

	A	B	C
1	LAT		
2	25.0625		
3	25.0625		
4	25.0625		
5	25.0625		
6	25.1875		
7	25.1875		
8	25.1875		
9	25.1875		
10	25.1875		

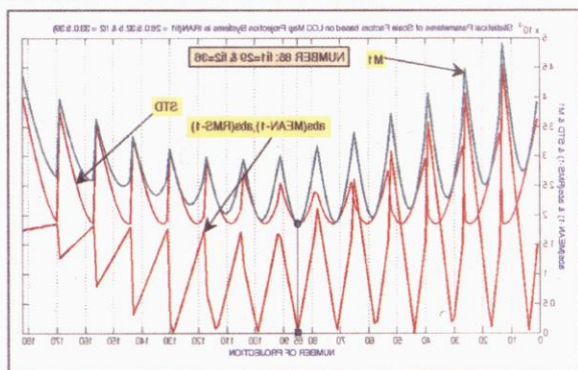
شکل ۳. نمونه فایل ورودی در واحد درجه

برای تعیین مناسب‌ترین مدارات استاندارد سیستم لامبرت مخروطی کشور، مدارات استاندارد به صورت همزمان و با تغییرات نیم درجه برای حداقل و حداکثر عرض جغرافیایی کشور در برنامه معرفی شده است.

$$\begin{cases} \varphi_1 = 26.0 : 0.5 : 32.5 & (\text{number} = 14) \\ \varphi_2 = 33.0 : 0.5 : 39.0 & (\text{number} = 13) \end{cases}$$

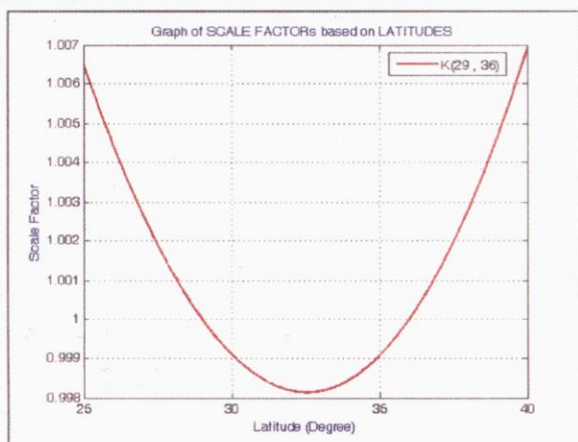
در واحد درجه بدین ترتیب، ضرایب مقیاس مراکز نقشه‌های ۱:۲۵۰۰۰ کشور (سلول‌ها) در ۱۸۲ حالت مختلف با استفاده از روابط (۱) محاسبه گردید. در این حالت، فایل خروجی مشکل از یک ماتریس با ابعاد 1040×183 می‌باشد که ستون اول شامل عرض زئوتیک مراکز نقشه‌ها و ۱۸۲ ستون دیگر شامل ضرایب مقیاس این مراکز در مدارات استاندارد مذکور است.

در شکل بالا، ضرایب مقیاس برای مجموعه‌ای از نقاط در محدوده کشور (از عرض ۲۵ تا ۴۰ درجه) شامل یک پروفیل شمالی-جنوبی به تعداد ۹۰۱ یک نقطه، برای ۱۹۶ حالت مختلف از مدارات استاندارد (از مدار ۲۶ تا $\frac{32}{5}$ و $\frac{32}{5}$ تا ۳۹ با تغییرات ۵ درجه) قابل مشاهده است. در این نمودار، مقادیر ضریب مقیاس



شکل ۵- کمیت های آماری ضریب مقیاس در سیستم های تصویر LCC ایران

در نمودارهای زیر مقادیر ضریب مقیاس در سیستم لامبرت مخروطی مربوط به مدارات استاندارد ۲۹ و ۳۶ درجه (شکل ۵) و ۲۶ و ۳۸۵ درجه (شکل ۶) برای پروفیل ۹۰۱ نقطه ای $\varphi = 25^\circ$ قابل مشاهده است:



شکل ۶- پروفیل ضریب مقیاس در سیستم تصویر لامبرت ایران با مدارات ۲۹ و ۳۶ درجه

در نهایت، نمودارهای اخیر بیانگر مقادیر مختلف ضریب مقیاس در محدوده مرزهای کشور می باشد، برخلاف اشکال بالا، نمودارهای ذیل به صورت پوششی و بر اساس تمامی نقشه های ۱:۲۵۰۰۰ مرکز نقشه پوششی (۱۰۴۰۴) ایران ترسیم شده است:

پس از محاسبه این کمیت ها برای تمامی ستون ها (ضرایب مقیاس) و نیز محاسبه کمینه آنها، مشاهده شد که در ستون شماره ۸۵ (مدارات استاندارد $\varphi_1 = 29^\circ$ و $\varphi_2 = 36^\circ$) به کمترین مقدار آماره اول (قدر مطلق اختلاف میانگین از عدد یک)، دوم (قدر مطلق اختلاف RMS از عدد یک) و چهارم (گشتاور درجه دو حول عدد یک) می رسیم. در حالی که، کمترین مقدار انحراف معیار به ستون شماره ۱۲ با مدارات استاندارد $\varphi_1 = 26^\circ$ و $\varphi_2 = 38.5^\circ$ مربوط می گردد (جدول ۱ و شکل ۵).

شایان ذکر است که مقادیر انحراف معیار برای تمامی ستون ها بسیار به یکدیگر نزدیک است (با دقیقی بیش از ۴ رقم اعشار) به گونه ای که نمی توان عمل آن را دارای ارزش آماری دانست. در عین حال در اینجا، اعتبار این کمیت به لحاظ آماری نسبت به سه کمیت دیگر بسیار کمتر است زیرا هدف اصلی، همگرایی ضرایب مقیاس به عدد یک می باشد. علاوه بر این، اختلاف بیشینه و کمینه ضریب مقیاس در مورد مدارات استاندارد ۲۹ و ۳۶ درجه کمتر از ۰/۰۰۹ و در مورد مدارات استاندارد ۲۶ و ۳۸۵ حدود ۰/۰۱۴ است. با توجه به موارد مذکور، بهترین سیستم تصویر متشابه لامبرت مخروطی داخل مرزهای کشور با مدارات ۲۹ و ۳۶ درجه معرفی می گردد. در شکل زیر نمودارهای مقادیر قدر مطلق اختلاف میانگین از عدد یک، قدر مطلق اختلاف RMS از عدد یک، گشتاور درجه دو حول عدد یک (انحراف از عدد یک) کمیت ضریب مقیاس در سیستم لامبرت متشابه مخروطی با مدارات استاندارد ۲۶ تا ۳۹ درجه (با تغییرات نیم درجه) در گستره چغرافیایی کشور (بر اساس ۱۰۴۰۴ مرکز نقشه پوششی ۱:۲۵۰۰۰) نمایش داده شده است:

در نمودار فوق منظور از ستون ۸۵ حالت مدارات استاندارد ۲۹ و ۳۶ درجه است که سه آماره ذکر شده (جدول ۱) مینیمم می گردد.

جدول ۱- کمینه مقادیر آماره ها مربوط به ستون های ۸۵ و ۱۲ فایل خروجی

Number	φ_1	φ_2	$ \bar{x} - \bar{z} $	$ RMS - \bar{z} $	SD	m1
85	29	36	0.0000014396 483	0.0000031622 4356	0.0018561157 0157	0.0018561162 5989
12	26	38.5	0.00405585076 314	0.0040541414 7058	0.0018451890 9316	0.0044558554 9613

(Krakiwsky, 1973)

در این رابطه:

φ_1 - شعاع انحنای مقطع قائم اولیه در مدار استاندارد
 N_1 (رابطه ۱)

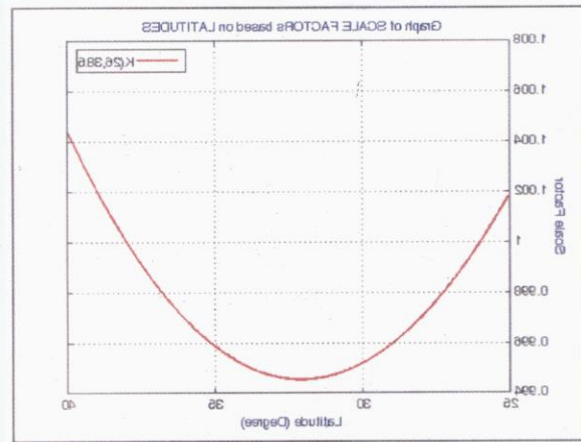
φ_2 - شعاع انحنای مقطع قائم اولیه در مدار استاندارد
 N_2 (رابطه ۲)

 q_1 - عرض ایزومتریک در φ_1 q_2 - عرض ایزومتریک در φ_2

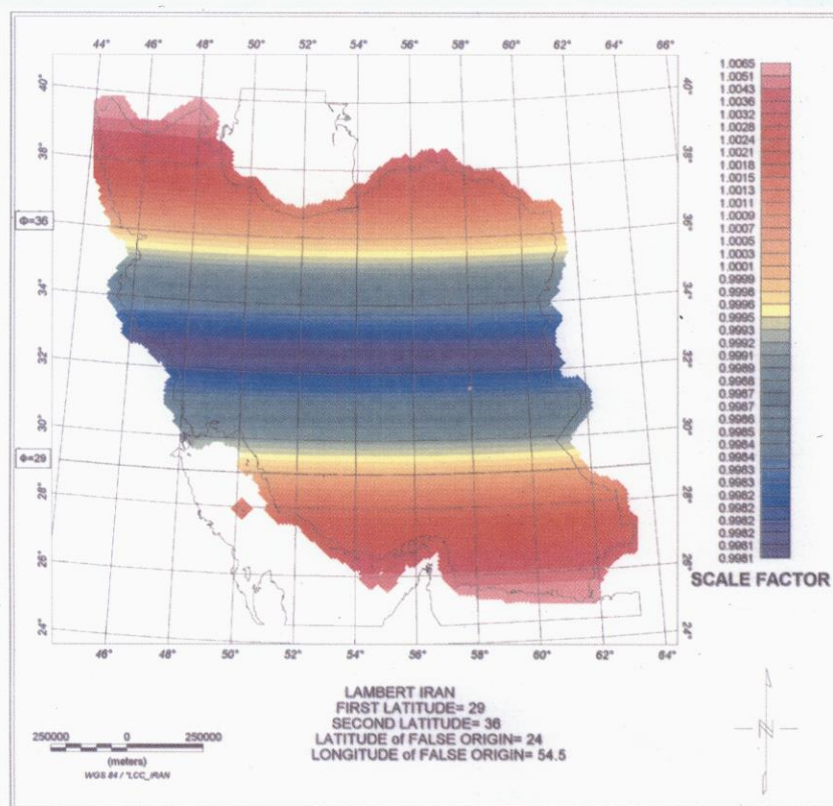
عرض ایزومتریک^۷ برای هر مدار، طبق رابطه زیر محاسبه می‌گردد:

$$q = \ln \left\{ \tan \left(\frac{\varphi}{2} + \frac{\pi}{4} \right) \left[\left(1 - e \sin \varphi \right) / \left(1 + e \sin \varphi \right) \right]^{1/2} \right\} \quad (8)$$

در این مرحله، طول ژئودتیک مراکز ۱۰۴۰۴ برگ نقشه ۱:۲۵۰۰۰
 ایران (سلول‌های مورد بررسی) به عنوان فایل ورودی به برنامه
 معروفی می‌شود (مطابق شکل ۱۰).



شکل ۷. پروفیل ضریب مقیاس در سیستم تصویر لامبرت ایران با مدارات ۲۶ و ۳۶ درجه



شکل ۸. ضرایب مقیاس در سیستم تصویر لامبرت ایران با مدارات ۲۹ و ۳۶ درجه (پوششی)

۴. محاسبه تقارب

نصف‌النهارات^۸ در محدوده کشور (در سیستم LCC)

یکی دیگر از پارامترهای مهم (علاوه بر کمیت ضریب مقیاس) که باید در ارزیابی و بهینه‌سازی سیستم‌های تصویر متشابه، مورد توجه قرار گیرد، اندازه تمایل نصف‌النهارات به یکدیگر و یا به عبارت صحیح تر تقارب نصف‌النهارات در تصویر حاصل است.

این کمیت علاوه بر مدارات استاندارد در سیستم LCC تابعی از طول ژئودتیک مبدأ و نیز طول ژئودتیک نقطه مورد نظر بوده، مطابق رابطه زیر تعیین می‌گردد:

$$\gamma = l \times (\lambda - \lambda_0) \quad (6)$$

که:

$$(7) \quad l = \frac{\ln [(N_1 \cos \varphi_1) / (N_2 \cos \varphi_2)]}{q_2 - q_1}$$

$$\lambda_0 = 45^\circ : 0.5^\circ : 63^\circ$$

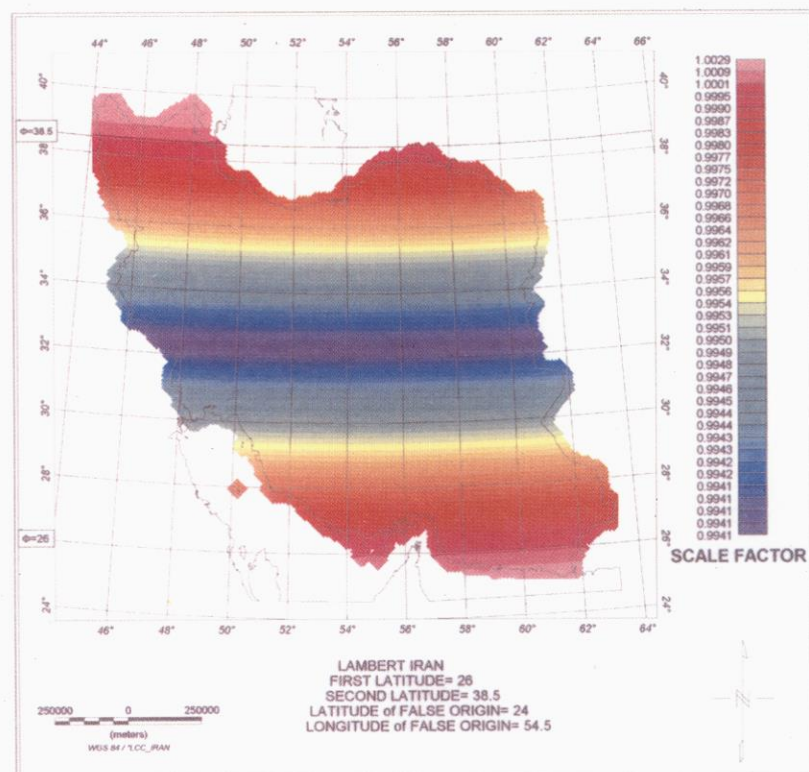
بدین ترتیب، تقارب نصف النهارات مراکز تمامی نقشه‌های ۱:۲۵۰۰۰ کشور در ۳۷ حالت مختلف با استفاده از روابط بالا محاسبه گردید. در این حالت، فایل خروجی مشکل از یک ماتریس با ابعاد 38×10404 می‌باشد که ستون اول شامل طول ژئودتیک مراکز نقشه‌ها و ۳۷ ستون دیگر شامل تقارب نصف النهارات این مراکز در مدارات استاندارد ۲۹ و ۳۶ درجه است.

شایان ذکر است که حساسیت تغییرات تقارب نصف النهارات (γ) در سیستم تصویر متشابه مخروطی لامبرت (LCC)، نسبت به مقادیر φ_1 و φ_2 بسیار کمتر از تغییرات آن نسبت به طول ژئودتیک مبدا (λ_0) است (Maling, 1992)، به این علت می‌توان با استفاده از مناسب‌ترین مدارات استاندارد در این سیستم ۲۹ و ۳۶

درجه، طول ژئودتیک بهینه مبدا را تعیین کرد (به صورت سری). ضمناً یادآور می‌شود برخلاف کمیت ضریب مقیاس که پارامتری مثبت و بدون واحد است، این کمیت دارای واحد زاویه (رادیان، درجه و ...) بوده و می‌تواند علامت مثبت، منفی و حتی مقدار صفر را اختیار نماید.

۴.۱. مطالعه آماری کمیت تقارب نصف النهارات

با محاسبه تقارب نصف النهارات برای تمامی حالات طول ژئودتیک مبدا، نتایج حاصل مورد مطالعه آماری قرار گرفته است. برای این منظور آماره‌هایی چون "قدر مطلق میانگین"، "ریشه مربعی متوسط (RMS)" و "انحراف معیار (STD)" مدنظر قرار گرفته و با توجه به رابطه ϵ ، کاملاً مشخص است که کمیت تقارب نصف النهارات به صورت خطی تابعی از طول ژئودتیک مبدا (λ_0) می‌باشد، بنابراین انحراف معیار مقادیر مختلف تقارب نصف النهارات با تغییر (λ_0) تغییر نمی‌نماید، یعنی نمودار آن به صورت یک خط مستقیم به موازات محور x ها خواهد بود (شکل ۱۱)؛ به این علت تنها



شکل ۹. ضرایب مقیاس در سیستم تصویر لامبرت ایران با مدارات ۲۶ و ۳۸.۵ درجه (پوششی)

Microsoft Excel - G_IRAN(25K).xls		
	A	B
D15	A	Long
1		46.9375
2		47.0625
3		47.0625
4		47.0625
5		47.0625
6		47.0625
7		47.0625
8		47.0625
9		47.0625
10		47.0625

شکل ۱۰. نمونه فایل ورودی در واحد درجه

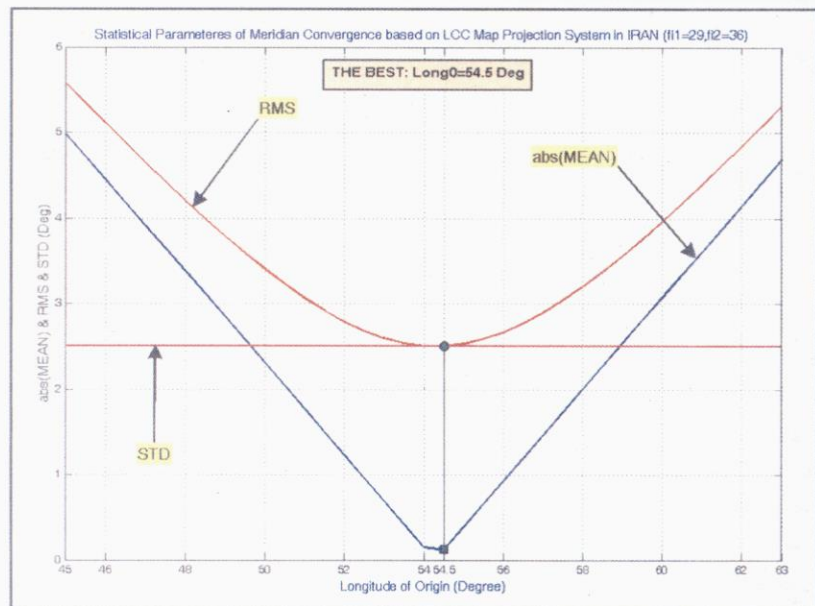
برای تعیین مناسب‌ترین نصف‌النهار مبدا (λ_0) در سیستم لامبرت مخروطی کشور، این کمیت به صورت نیم درجه در برنامه متغیر در نظر گرفته شد:

بیشترین مقدار تقارب در سیستم تصویر LCC در محدوده کشور با نصف النهار مبدأ ۵۴/۵ درجه، $\lambda_0 = -5.61162534$ درجه، (منتها علیه غرب: $\lambda = 44.0625^\circ$) و 4.73795912° درجه (منتها علیه شرق: $\lambda = 63.3125^\circ$) می‌باشد. در نهایت، با توجه به موارد مذکور، بهترین سیستم تصویر مشابه لامبرت مخروطی داخل مرزهای کشور با مدارات استاندارد ۲۹ و ۳۶ درجه و با نصف النهار مبدأ ۵۴/۵ درجه تعریف می‌گردد. در نمودار زیر مقادیر قدر مطلق میانگین، RMS و STD کمیت تقارب نصف النهارات در سیستم لامبرت مشابه مخروطی با مشخصات بالا و در محدوده ۴۵ تا 63° درجه طول زئوتیک نمایش داده شده است:

در شکل بالا، وقوع کمترین مقادیر قدر مطلق میانگین و RMS در نصف النهار

جدول ۲. کمینه مقادیر آماره ها مربوط به ستون ۲۱ فایل خروجی (درجه)

Number	λ_0	$ \bar{x} $	RMS	STD
21	54.5	0.11844865504648	2.50570169596871	2.50290049848096



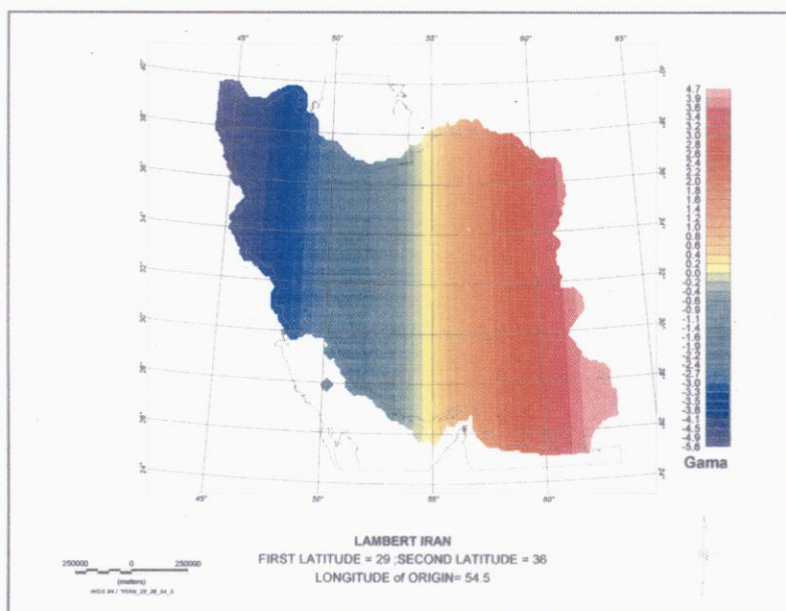
شکل ۱۱. کمیت های آماری تقارب نصف النهارات در سیستم تصویر LCC ایران

دو پارامتر قدر مطلق میانگین و RMS مد نظر قرار گرفت:

$$x \quad x = \frac{1}{n} \sum_{i=1}^n x_i \quad (9)$$

$$RMS = \sqrt{\frac{\sum_{i=1}^n x_i^2}{n}} \quad (10)$$

پس از محاسبه این کمیت ها برای تمامی ستون ها (تقارب نصف النهارات) و نیز محاسبه کمینه، مشاهده شد که در ستون شماره ۲۱ (نصف النهار مبدأ $\lambda_0 = 54.5^\circ$) به کمترین مقدار آماره اول (قدر مطلق میانگین) و دوم (RMS) می‌رسیم. در حالی که، مقدار انحراف معیار برای تمامی ستون ها یکسان می‌باشد (جدول ۲).



شکل ۱۲. تقارب نصف النهارات در سیستم تصویر لامبرت ایران با مدارات ۲۹ و ۳۶ درجه و نصف النهار مبدأ ۵۴/۵ درجه

۶. تشکر و قدردانی

این مقاله برگرفته از طرح پژوهشی با عنوان آرزیابی سیستم های تصویر مناسب ایران^۱ می باشد و بر خود وظیفه می دانیم در این راستا از همکاری های مدیریت محترم پژوهش و برنامه ریزی سازمان نقشه برداری کشور، و ناظرین این طرح آقایان دکتر نانکلی و مهندس غضنفری، انجمن علمی نقشه برداری و رئوماتیک ایران و مدیریت محترم کارتogrافی سازمان نقشه برداری، صمیمانه تشکر و قدردانی نمائیم.

۷. پا نوشت ها

1-Shape

2-Lambert Conformal Conic

3-Scale Factor

4-Root Mean Squares

5-Standard Deviation

6-Meridian Convergence

7-Isometric Latitude

۸. منابع

1. Krakiwsky, E.J. (1973): Conformal Map Projections in Geodesy. Lecture Notes No. 36, University of New Brunswick, Fredericton, N.B, Canada.
2. Maling, D.H. (1992): Coordinate Systems and Map Projections (2ndED.). Pergamon Press plc, Headington Hill Hall, Oxford OX3 0BW, England.
3. Snyder, J.P. (1982): Map Projections used by The U.S.Geological Survey (USGS). U.S. Geological Survey, Bulletin 1532, Washington D.C, U.S. Government Printing Office.
4. Yang, Q.H., Snyder, J.P. and Tobler, W.R. (2000): Map Projection Transformation, Principles and Applications. pp. 53-218. Published by Taylor & Francis. 11 New Fetter Lane. London.

مبدا ۵۴/۵ درجه قابل ملاحظه است. در حالی که نمودار انحراف معیار کمیت تقارب نصف النهارات ثابت است و این نکته طبق رابطه خطی ۶ امری کاملا بدیهی است. نمودار زیر نمایانگر مقادیر مختلف تقارب نصف النهارات در محدوده مرزهای کشور نسبت به نصف النهار مرجع ۵۴/۵ درجه است، برخلاف شکل بالا، نمودار ذیل به صورت پوششی و بر اساس مراکز تمامی نقشه های ۱:۲۵۰۰۰ ایران (۱۰۴۰۴ نقطه) و با مدارات استاندارد ۲۹ و ۳۶ درجه ترسیم شده است:

در نهایت باید اضافه نمود به دلیل عدم تاثیر مدار مبدا (۴۰) در سیستم مشابه مخروطی لامبرت بر روی کمیت های ضرایب مقیاس و تقارب نصف النهارات، به مطالعه و ارزیابی این کمیت نیازی وجود نداشته (Yang, 2000) و بنابراین مدار ۲۴ درجه به عنوان مدار مبدا در این ارزیابی در نظر گرفته شد.

۵. نتیجه گیری و پیشنهادات

با توجه به موارد آمده در بخش های ۳ و ۴ این مقاله، نمودارهای ۵، ۸، ۱۱ و ۱۲ و نیز جداول ۱ و ۲ به وضوح می توان مشاهده نمود که با انتخاب مدارات ۲۹ و ۳۶ درجه به عنوان مدارات استاندارد و نصف النهار ۵۴/۵ درجه به عنوان نصف النهار مبدا در سیستم تصویر لامبرت مشابه مخروطی (LCC)، با دقیق ترین حالت ممکن به لحاظ کمینه بودن پارامترهای ضریب مقیاس و تقارب نصف النهارات، می توان در یک نقشه یکپارچه تمامی کشور و یا بخش عمده ای از آن را نمایش داد. در آخر پیشنهاد می گردد:

۱. به منظور ایجاد هماهنگی و نیز بهینه سازی امر تهیه نقشه، پارامترهای بالا جهت استفاده به سازمان نقشه برداری و نیز دیگر بخش های دولتی و خصوصی که در زمینه تهیه نقشه های کوچک مقیاس و در ابعاد بزرگ، فعالیت می نمایند، اعلام گردد.
۲. مناسب است جهت اطلاع کاربران و کارشناسان محترم، مقادیر ضریب مقیاس و تقارب نصف النهارات در مرکز نقشه های کوچک مقیاس از جمله نقشه های پوششی ۱:۲۵۰۰۰ و ۱:۲۵۰۰۰۰ کشور آورده شود.

سیر تکاملی توپولوژی در محصولات شرکت ESRI

(با نگرش بر روند تولید محصولات NTDB در سازمان نقشه‌برداری کشور)

نویسنده:

کارشناس تحقیق و توسعه اداره کل GIS، سازمان نقشه‌برداری کشور

مهندس رضا احمدیه

ahmadyieh@ncc.org.ir

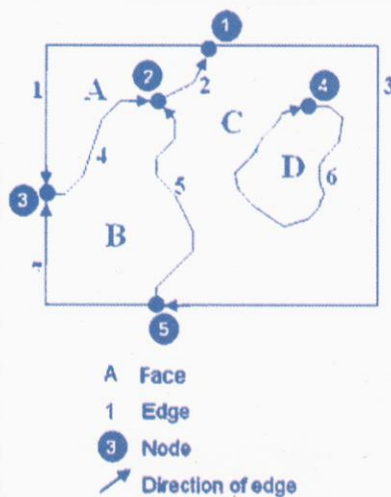
گراف توپولوژی. توپولوژی همچنین می‌تواند برای مدل‌سازی نحوه یکپارچه‌سازی^۹ هندسه عوارضی که در طبقه‌های مختلفی قرار دارند به کار رود که به عنوان یکپارچه‌سازی عمودی^{۱۰} طبقه‌های عوارض شناخته می‌شود. در کل کاربردهای مهم توپولوژی عبارتند از: ۷ مدیریت بخش‌های هندسه مشترک عوارض، مانند اضلاع مشترک در چندضلعی‌های مجاور؛ ۷ تعریف و استفاده از قواعد انسجام^{۱۱} و درستی مثل عدم وجود فاصله^{۱۲} یا همپوشانی^{۱۳} چندضلعی‌های مجاور یا

فعالیت‌های دیگری که لازم است جهت ارتقاء پایگاه داده مذکور انجام شود.

۲. چرا توپولوژی؟

توپولوژی از دیر باز یک ضرورت و مفهوم کلیدی GIS برای ساماندهی، مدیریت و انسجام^۳ داده‌ها بوده است. در کل یک مدل داده توپولوژیکی، اشیا مکانی (عوارض نقطه‌ای، خطی و سطحی) را به صورت یک گراف مبنایی از مفاهیم اولیه توپولوژیکی (گره^۴، لبه^۵ و سطح^۶) نمایش می‌دهد. این المان‌های (عناصر) اولیه^۷ به همراه ارتباطات بین آنها و با عوارضی که این المان‌های اولیه محدوده‌های آنها را تشکیل می‌دهند، مطابق هندسه عارضه و توسط یک گراف دو بعدی از المان‌های توپولوژیکی تعریف می‌شوند.

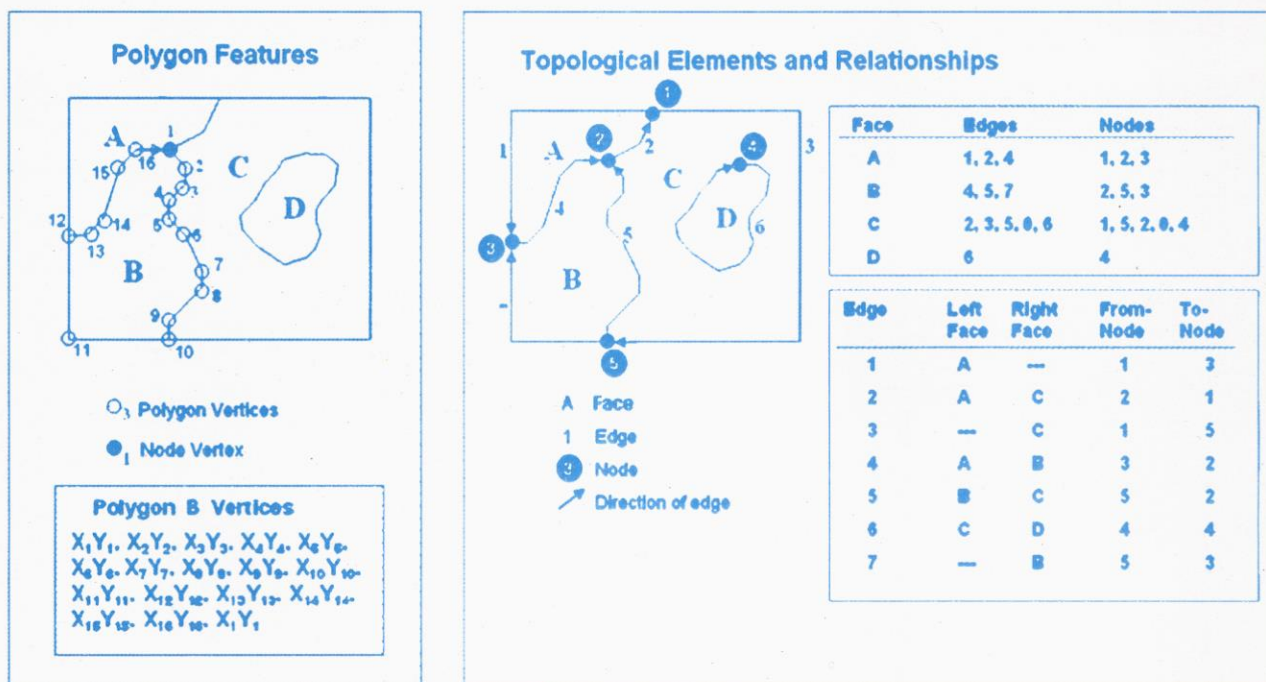
شکل ۱ نشان‌دهنده این مطلب است. توپولوژی در اصل برای ایجاد اطمینان از کیفیت داده و کمک به تأثیف^۸ داده به کار می‌رود. توپولوژی همچنین برای تحلیل ارتباطات مکانی در بسیاری از موقعیت‌ها استفاده می‌شود مانند حذف مرزهای مشترک بین چندضلعی‌های مجاور که دارای اطلاعات یکسان هستند یا برای پیمایش در امتداد شبکه‌ای از المان‌های داریک



شکل ۱. المان‌های توپولوژیکی و ارتباطات آنها

۱. مقدمه

در طی ۱۲ سال اخیر سازمان نقشه‌برداری کشور حجم انبوهی از داده‌های مکانی و توصیفی تحت عنوان پایگاه داده توپوگرافی ملی (NTDB)^{۱۴} در مقیاس ۱:۲۵۰۰۰ را تولید و ذخیره‌سازی نموده است. در این اثناء و به تبع فن‌آوری‌های موجود و قابل دسترس در بازه‌های مختلف زمانی، داده‌های مذکور به روش‌های متفاوتی تولید و ذخیره شده‌اند. در ابتدا داده‌های مکانی به فرمت dgn و در نرم‌افزار MicroStation و داده‌های توصیفی در قالب بانک اطلاعاتی Oracle تولید و نگهداری می‌شدند. بعدها با ارائه فرمت Shapefile از سوی شرکت ESRI و به دلایلی که در این نوشتار عنوان می‌شود از داده‌های مذکور یک نسخه نیز به فرمت Shapefile تولید و ذخیره‌سازی می‌گردید. امروزه نیز شاهد ذخیره‌سازی این داده‌ها در پایگاه اطلاعاتی Oracle Spatial و مبتنی بر فن‌آوری ژئوپلیتیکس^۲ می‌باشیم. نوشتار حاضر نگرشی است بر دلایل توجیهی استفاده از توپولوژی و روند تغییرات آن در گذر زمان و همین طور تغییرات به وجود آمده در روند تولید داده‌های توپولوژیکی دارای توپوگرافی ملی سازمان نقشه‌برداری کشور و



ب

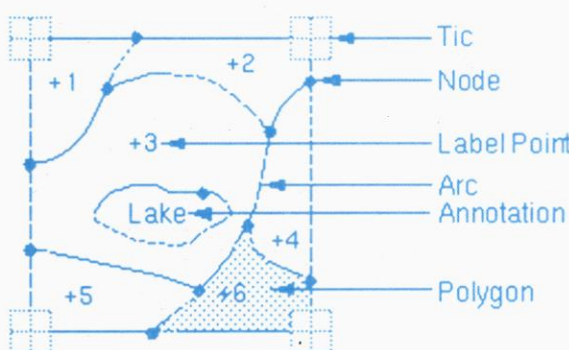
الف

شکل ۲. دو نگرش متفاوت توصیف و استفاده از داده‌های مکانی

۳. پیدایش Arc-Node

کاربران ArcInfo Coverage نقش پر اهمیت توپولوژی در حفظ انسجام مکانی داده‌های اسپیکتیو را به خاطر دارند. در شکل ۳ المان‌های مورد استفاده در مدل داده Coverage در ArcInfo در مدل داده کاربران دیده می‌شود.

۱. مجموعه‌ای از عوارض مکانی که در آن، عوارض بر اساس مختصات رئوسشان تعریف می‌شوند (قسمت الف).
۲. گرافی از المان‌های توپولوژیکی که در آن، عوارض به صورت گرافی از المان‌های توپولوژیکی ارائه می‌شوند (قسمت ب).



شکل ۳. المان‌های مورد استفاده در مدل داده Coverage

وجود گره در محل تقاطع عوارض خطی مانند راه‌ها؛

✓ پشتیبانی از پرسش‌دهی‌های مرتبه با ارتباطات توپولوژیکی و حرکت در امتداد شبکه^{۱۴} خطوط یا یافتن عوارض مرتبط و مجاور؛

✓ پشتیبانی از ابزارهای پیچیده ویرایشی که قیود توپولوژیکی^{۱۵} مدل‌سازی داده را به کار می‌بندند؛

✓ ساختن عوارض از هندسه‌های فاقد ساختار مانند ساخت چندضلعی از روی خطوط اسپاگتی.

شکل ۲ تمایز بین مفهوم عوارض مکانی و المان‌های توپولوژیکی را نشان می‌دهد. همان‌طور که در شکل دیده می‌شود یک لايه حاوی اطلاعات مکانی می‌تواند به دو صورت توصیف و استفاده شود:

۴. پیدایش و Shapefile

ذخیره‌سازی هندسه ساده^{۲۷}

در اوایل دهه ۱۹۸۰، Coverage به عنوان یک پیشرفت چشمگیر نسبت به سیستم‌های قدیمی‌تر خطی و چندضلعی محسوب می‌شد که در آنها چندضلعی‌ها به صورت حلقه‌های کاملی نگهداری می‌شدند. در این سیستم‌های قدیمی تمام مختصات یک عارضه در هندسه آن ذخیره می‌شدند. قبل از پیدایش ArcInfo و Coverage از توپولوژیکی تا قبل از عملیات ساخت^{۲۱} توپولوژی قابل استفاده نبودند. در صورت ویرایش لبه‌ها لازم بود که توپولوژی نیز بازسازی شود. این کار با انجام پردازش جزئی^{۲۲} انجام می‌شد که در آن فقط برای قسمت‌های تغییر یافته مجددًا توپولوژی ایجاد می‌شد. شایان ذکر است که به طورکلی هنگام ویرایش عوارض در یک مجموعه داده توپولوژیکی، صرف نظر از مدل ذخیره‌سازی، باید یک الگوریتم تحلیل هندسی برای بازسازی ارتباطات توپولوژیکی اجرا شود.

Coverage^{۲۳} تک کاربره بودند. به علت نیاز به حصول اطمینان از همزمانی گراف توپولوژیکی با هندسه عارضه، در هر آن فقط یک کاربر می‌توانست توپولوژی را به روز کند. کاربران برای ویرایش ناگزیر به موزاییک کردن Coverage ها^{۲۴} و نگهداری بانک اطلاعاتی موزاییک شده بودند. با این روند در هر زمان تنها یک کاربر به قفل کردن^{۲۵} و ویرایش داده قادر بود. به بیان دیگر مجموعه داده‌های موزاییک شده نمی‌توانستند مستقیماً و همزمان در قسمت‌های مختلف یک سازمان مورد استفاده قرار گیرند. همچنین ممکن بود لازم باشد تا داده‌ها تبدیل فرمت^{۲۶} شوند که این به مفهوم کار بیشتر و زمان بیشتر بود.

تشکیل می‌شدند. این عملیات شامل تمام چندضلعی‌ها و عوارض چندپارچه^{۲۰} مانند Region^{۲۷} (Coverage) می‌شوند. Route^{۲۸} (Coverage) می‌شوند. چندضلعی‌های چندپارچه و

های شامل عوارض خطی چندپارچه) بود. ✓ عوارض توپولوژیکی تا قبل از انجام پردازش جزئی^{۲۲} انجام می‌شد که در آن فقط برای قسمت‌های تغییر یافته مجددًا توپولوژی ایجاد می‌شد. شایان ذکر است که به طورکلی هنگام ویرایش عوارض در یک مجموعه داده توپولوژیکی، صرف نظر از مدل ذخیره‌سازی، باید یک الگوریتم تحلیل هندسی برای بازسازی ارتباطات توپولوژیکی اجرا شود.

Coverage^{۲۳} تک کاربره بودند. به علت نیاز به حصول اطمینان از همزمانی گراف توپولوژیکی با هندسه عارضه، در هر آن فقط یک کاربر می‌توانست توپولوژی را به روز کند. کاربران برای ویرایش ناگزیر به موزاییک کردن Coverage ها^{۲۴} و نگهداری بانک اطلاعاتی موزاییک شده بودند. با این روند در هر زمان تنها یک کاربر به قفل کردن^{۲۵} و ویرایش داده قادر بود. به بیان دیگر مجموعه داده‌های موزاییک شده نمی‌توانستند مستقیماً و همزمان در قسمت‌های مختلف یک سازمان مورد استفاده قرار گیرند.

برخی از مزایای مدل Coverage عبارت بودند از:

- ✓ از یک ساختار ساده برای نگهداری توپولوژی؛ استفاده می‌گردد.
- ✓ لبه‌های مشترک بین عوارض مجاور فقط یک بار رقومی^{۲۸} می‌شوند؛
- ✓ ساختار ذخیره‌سازی اطلاعات توپولوژی به سادگی قابل درک بود.

اما Coverage^{۲۹} می‌باشد. در حین اجرای برنامه به هنگام نیاز ایجاد می‌شوند. در یک Coverage عوارض و حدود عوارض در تعداد محدودی فایل‌های مجزا ذخیره می‌شوند که فایل "Arc" هندسه خطوط یا حدود چندضلعی‌ها را به صورت خطوط توپولوژیک که arc نامیده می‌شوند نگهداری می‌کرد. فایل LAB شامل دو دسته از نقاط بود. دسته اول نقاطی که نشانگر موقعیت‌های نقطه‌ای بودند که به عنوان نقاط لیل گذاری^{۱۰} (بر چسب گذاری) برای لیل گذاری استفاده می‌شدند و دسته دیگر حاوی عوارض نقطه‌ای مانند چاه‌های آب بودند. سایر فایل‌ها برای تعريف و نگهداری ارتباطات توپولوژیکی بین خطوط و سطوح استفاده می‌شدند. به عنوان مثال فایلی به نام "PAL"^{۱۱} (یا همان "polygon-Arc list") ترتیب و جهت Arcها در هر چندضلعی را فهرست می‌کرد. در ArcInfo از منطق نرم افزاری برای سوارکردن^{۱۷} مختصات هر چندضلعی برای نمایش، تحلیل و پرسش دهی استفاده می‌شد. چندضلعی‌ها در حین اجرای برنامه به هنگام نیاز ایجاد می‌شوند.

برخی از مزایای مدل Coverage عبارت بودند از:

- ✓ از یک ساختار ساده برای نگهداری توپولوژی؛ استفاده می‌گردد.
- ✓ لبه‌های مشترک بین عوارض مجاور فقط یک بار رقومی^{۲۸} می‌شوند؛
- ✓ ساختار ذخیره‌سازی اطلاعات توپولوژی به سادگی قابل درک بود.

اما Coverage^{۲۹} می‌باشد. در حین اجرای معمایی نیز بودند از جمله:

- ✓ برخی از عملیات به کندی انجام می‌شد بدان علت که عوارض زیادی می‌باشد در حین اجرای^{۱۹} و در هنگام نیاز

برای برنامه نویسان بسیار ساده است؛
✓ دارای قابلیت تعامل پذیری است.
برنامه های مبدل ساده فراوانی برای تبدیل فرمت از / به این هندسه ساده تهیه شده است. در نتیجه کاربران به استفاده از یک مدل داده (مثل فایل های CAD یا Coverage) برای ویرایش و نگهداری داده و یک مدل دیگر مثل Shapefile برای دراختیار گذاری^{۳۷} داده ها را شروع کردند.
در واقع کاربران استفاده از یک روند دو گانه^{۳۸} یا ترکیبی برای ویرایش و دراختیار گذاری داده ها را شروع نمودند. به همین علت بالافاصله پس از در دسترس قرار گرفتن نرم افزار ArcView در داخل کشور، سازمان نقشه برداری کشور نیز به تولید داده های پایگاه داده توپوگرافی ملی در فرمت Shapefile روی آورد. گرچه ساختار عارضه ساده و در یک فرمت عالی و مستقیم جهت استفاده بود اما فاقد توانمندی های لازم برای ویرایش های توپولوژیکی و مدیریت داده بود. این امر برای دراختیار گذاری داده مناسب بود اما از سوی دیگر، این ایراد را داشت که داده می توانست کهنه^{۳۹} شده و نیازمند تازه سازی^{۴۰} شود. به روزرسانی داده همراه با یک تأخیر زمانی^{۴۱} بوده و داده فاقد توپولوژی بود.

چیزی که GIS لازم داشت و امروزه مدل توپولوژیکی ژئودیتاپیس (از این پس برای سادگی آنرا با GDB نمایش می دهیم) آنرا پیاده سازی می کند سازوکاری است که عوارض را با استفاده از هندسه عوارض ساده ذخیره نموده و امکان استفاده از توپولوژی در این ساختار داده و باز^{۴۲} نیز امکان پذیر می باشد. این بدان مفهوم است

همراه با اطلاعات هندسه عارضه، به صورت ستون های مختلف در یک سطر از جدول عارضه نگهداری شود.
این مدل عارضه ساده با موتور پردازشگر SQL به خوبی سازگاری داشت. این مطلب باعث گردید که استفاده از بانک های اطلاعاتی رابطه ای، زمینه استفاده از داده های بسیار حجمی در GIS و به صورت چند کاربره را بدون هیچ تنزلی در عملکرد و اجرا فراهم آورد. این خود سرآغاز استفاده از سیستم های مدیریت پایگاه داده رابطه ای^{۲۸} (RDBMS) خاصی تحت عنوان سیستم های مدیریت پایگاه داده شیء- رابطه ای^{۲۹} (ORDBMS) برای مدیریت داده های GIS بود.

Shapefile ها دیگر در همه جا حضور داشتند و استفاده از ArcSDE به عنوان یک سازوکار ساده تبدیل به یک مدل ذخیره سازی پایه ای در RDBMS ها مطرح شد. جهت حمایت از امکان تعامل پذیری^{۳۰}، شرکت ESRI به عنوان مسئول تهیه دستور العمل فنی عوارض ساده^{۳۱}، کنسرسیوم داده های مکانی باز^{۳۲} (OGC) و ایزو^{۳۳} به ایفای نقش پرداخت.

ذخیره سازی عوارض ساده دارای مزایایی به شرح ذیل است:

- ✓ هندسه کامل هر عارضه در یک بند^{۳۴} از یک سطر^{۳۵} ذخیره می شود؛
- ✓ ساختار داده فوق العاده سریع و اندازه پذیر^{۳۶} است (یعنی روی داده های حجمی به صورت مفید و سودمند عمل می کند)؛
- ✓ نوشتمن واسط کاربر برای این ساختار

ذخیره سازی لوح های فشرده در حال افزایش و سایر هزینه های سخت افزاری در حال کاهش و سرعت محاسبات نیز در حال افزایش بود. در عین حال مجموعه داده های GIS موجود به راحتی قابل دسترس بودند، لذا توجه کاربران GIS از فعالیت های تالیف و گردآوری داده به سمت استفاده، تحلیل و به اشتراک گذاری داده ها منعطف گردید. کاربران به دنبال اجرای سریع تر عملیات روی داده ها بودند. به عنوان مثال اتفاق منابع رایانه جهت استخراج هندسه چند ضلعی ها در هنگام نیاز، امری نامطلوب به حساب می آمد. لذا هدف مهم در اختیار داشتن سریع هندسه با کارآیی کامل بود. سیستم های GIS بسیاری در حال استفاده بودند و مجموعه داده های متعددی نیز قابل دسترس بودند.

در این دوران ESRI فرمت Shapefile را توسعه داده و منتشر ساخت. Shapefile برای ذخیره سازی مختصات عارضه از یک مدل ذخیره سازی بسیار ساده استفاده می کردند. هر Shapefile حاوی عوارض یک کلاس عارضه منفرد (از نقاط، خطوط یا سطوح) بود و یک مدل ذخیره سازی ساده برای مختصات عارضه استفاده می شد. همان‌طوری توانستند به سادگی از Coverage های ArcInfo و بسیاری سیستم های دیگر تولید شوند. آنها به طور گسترده ای در عمل مورد استفاده قرار گرفته و می گیرند. چند سال بعد ArcSDE پیشگام ایجاد یک فن آوری جدید گردید. این فن آوری که به عنوان یک واسط عمل می کرد این امکان را می داد که اطلاعات توصیفی هر عارضه،

فقط لازم است که توبولوژی برای نواحی مشکل دار بازسازی شود که این خود باعث صرفه جویی در زمان پردازش می‌شود.

نتیجه کار، المان‌های توبولوژیکی و ارتباطات آنها خواهد بود که دارای مزایای زیر می‌باشد:

- ✓ استفاده از ذخیره‌سازی هندسه عوارض ساده؛
- ✓ مدل داده عارضه ساده محاوره‌ای و چند کاربره؛
- ✓ توبولوژی GDB از تمام توانمندی‌های مدیریت نگارشی^۴ و محاورات طولانی GDB حمایت می‌کند.
- ✓ توبولوژی‌های GDB لازم نیست موزاییک شوند. کاربران زیادی می‌توانند به طور همزمان پایگاه داده توبولوژیکی را و حتی در صورت نیاز نگارش منفرد خودشان از همان داده‌ها را ویرایش کنند؛
- ✓ کلاس‌های عوارض می‌توانند تا هر اندازه و ابعادی بزرگ باشند (صدها میلیون عارضه) بدون اینکه هیچ تاثیر منفی ای روی عملکرد سیستم داشته باشند؛
- ✓ توبولوژی حالت افزودنی^۵ داشته و می‌توان آنرا به یک طرح‌واره^۶ مکانی موجود اضافه کرده و مورد استفاده قرار داد؛
- ✓ لازم است که فقط یک مدل داده برای ویرایش هندسی و استفاده از داده وجود داشته باشد نه بیشتر؛
- ✓ دارای ویژگی تعامل‌پذیری است، زیرا تمام ذخیره‌سازی هندسه عارضه با دستورالعمل‌های فنی عوارض پایه GIS باز^۷ و ایزو سازگاری دارد؛
- ✓ مدل‌سازی داده حالت طبیعی تری دارد زیرا بر اساس عوارض جهان حقیقی

- ✓ توانایی ویرایش همزمان توسط چندین کاربر؛
- ✓ هندسه عارضه همیشه در دسترس و قابل استفاده؛
- ✓ حمایت از قواعد رفتاری^۸ و قواعد انسجام توبولوژیکی؛
- ✓ سیستم سریع و اندازه‌پذیر برای چندین کار و چندین ویرایش؛
- ✓ سیستم ساده و انعطاف‌پذیر؛
- ✓ سیستمی که از موتور SQL موجود در RDBMS‌ها و چارچوب محاوره‌ای استفاده می‌کند؛
- ✓ سیستمی با امکان حمایت از چندین ویرایشگر، محاورات طولانی^۹، آرشیو زمانی^{۱۰} و تهیه نسخه رونوشت.^{۱۱}
- در توبولوژی GDB فرآیند راستی آزمایی، مختصات مشترک بین عوارض (هر دو در یک کلاس عارضه یا در کلاس‌های مختلف) را یافته و از یک الگوریتم خوش‌ای^{۱۲} برای ایجاد اطمینان از اینکه مختصات مشترک دارای موقعیت مکانی یکسان هستند استفاده می‌شود. این مختصات مشترک به عنوان بخشی از هندسه ساده هر عارضه ذخیره می‌شود.
- در هنگام ویرایش و به روزرسانی، عوارض در همان هنگامی که اضافه می‌شوند قابل استفاده هستند. نواحی به روزرسانده شده نقشه که نواحی مشکل دار^{۱۳} نامیده می‌شوند در حین عملیات به روزرسانی علامت^{۱۴} خورده و قابل رهگیری^{۱۵} هستند. کاربر در هر مرحله‌ای به انتخاب تحلیل توبولوژیکی و راستی آزمایی نواحی مشکل دار برای تولید توبولوژی سالم^{۱۶} قادر می‌باشد. درواقع

که استفاده از مزایای هر دو نظام برای کاربر امکان دارد: یعنی یک مدل داده محاوره‌ای که از یکسو امکان پرسش دهنده توبولوژیکی، ویرایش قسمت‌های مشترک هندسی، مدل‌سازی قدرتمند و انسجام داده‌ها را دارا بوده و از سوی دیگر سادگی، سازوکار ذخیره‌سازی داده همراه با اندازه‌پذیری بالا بر اساس هندسه عوارض ساده و باز را دارا می‌باشد. این مدل داده سریع، ساده و کارا بوده و داده‌ها می‌توانند مستقیماً ویرایش شده و به طور همزمان توسط کاربران بسیاری مورد استفاده قرار گیرند.

۵. چارچوب توبولوژی در ArcGIS

- در اصل توبولوژی چیزی بیش از مسئله ذخیره‌سازی داده‌هاست. این چارچوب شامل موارد زیر است:
- ✓ یک مدل داده کامل (شامل اشیاء^{۱۷}، قواعد انسجام، ابزارهای راستی آزمایی^{۱۸} داده و ویرایش داده، یک موتور توبولوژی و هندسه برای پردازش مجموعه داده‌هایی با هر اندازه و پیچیدگی و مجموعه‌ای توانمند از عملگرهای توبولوژیکی نمایش نقشه و ابزارهای ایجاد پرسش)؛
 - ✓ یک فرمت ذخیره‌سازی باز؛
 - ✓ توانایی ارائه عوارض و المان‌های توبولوژیکی و ارتباطات آنها با یکدیگر؛
 - ✓ دارابودن سازوکاری جهت حمایت از موارد زیر:
 - ✓ کار با مجموعه داده‌های فوق العاده بزرگ حاوی میلیون‌ها عارضه؛

35- Record
 36- Scaleable
 37- Deployment
 38- Hybrid
 39- Out of date
 40- Refresh
 41- Lag
 42- Open
 43- Objects
 44- Validation
 45- Behavior Rules
 46- Long Transactions
 47- Historical Archive
 48- Replication
 49- Clustering
 50- Dirty-Areas
 51- Flag
 52- Track
 53- Clean
 54-Versioning
 55- Additive
 56- Schema
 57- OpenGIS
 58- Oracle Spatial Warehouse

۸. منبع

ArcGIS9, Building_a_Geodatabase.pdf

- 1- National Topographic DataBase (NTDB)
 2- Geodatabase
 3- Integrity
 4- Node
 5- Edge
 6- Facet
 7- Primitives
 8- Compilation
 9- Integration
 10- Vertical Integration
 11- Integrity Rules
 12- Gap
 13- Sliver
 14- Navigation
 15- Topologic Constraints
 16- Label Points
 17- Assemble
 18- Digitize
 19- On the fly
 20- Multipart
 21- Build
 22- Partial Processing
 23- Syncrhization
 24- Tiling
 25- Lock
 26- Convert
 27- Simple Geometry
 28- Relational Database Management System
 29- Object-Relational Database Management System
 30- Interoperability
 31- Simple Feature Specification
 32- Open Geospatial Consortium
 33- ISO: International Organization for Standardization
 34- Field

۷. پانوشت‌ها

است (مانند خیابان‌ها، جنس خاک و ...) تا
 المان‌های اولیه توپولوژیکی. جالب آن است
 که در موقعی که کاربر به المان‌های
 توپولوژیکی نیاز دارد، ایجاد و ذخیره آنها در
 جداول برای عملیات تحلیلی و اهداف
 تعاملی امکان‌پذیر است. مثلا برای موقعی
 که کاربر بخواهد عوارض را به یک ابزاره
 Oracle مکانی^{۵۸} که حاوی المان‌های اولیه
 توپولوژیکی است وارد کند.

۶. نتیجه‌گیری

در خاتمه و به عنوان جمع‌بندی می‌توان
 گفت که توپولوژی در GIS‌های پیشرفته
 کاملاً کاربردی، اندازه‌پذیر در قالب
 GDB‌های فوق العاده بزرگ و سیستم‌های
 چند کاربره بوده و دارای ابزارهای ویرایشی و
 راستی آزمایی قدرتمند برای ساخت و
 نگهداری توپولوژی در GDB‌ها و همین‌طور
 ابزارهای مدل‌سازی قدرتمند و انعطاف‌پذیر
 است. لذا استفاده از توانمندی‌های فن‌آوری
 GDB در جهت ارتقاء کیفیت و عملکرد پایگاه
 داده توپوگرافی ملی با تاکید بر استفاده از
 امکانات مدیریت ویرایشی برای
 به روزرسانی داده‌ها بایستی در زمرة
 برنامه‌های آتی سازمان نقشه‌برداری کشور
 قرار گیرد.

www.ncc.org.ir

پایش ساختار سدهای بزرگ به وسیله دستگاه لیزر اسکن زمینی

نویسنده‌گان:

- استاد دانشگاه پلی تکنیک ایتالیا M. Scaioni, M. Alba, L. Fregonese, A. Giussani, P. Valgoi

مترجمان:

مهندس شیرزاد روحی

کارشناس اداره کل نظارت و کنترل فنی، سازمان نقشه‌برداری کشور
roohi@ncc.org.ir

مهندس مالک ازدر صادقی مهر

کارشناس اداره کل نظارت و کنترل فنی، سازمان نقشه‌برداری کشور
asdeghi-ma@ncc.org.ir

مهندس مجید خاکساران خوش

کارشناس اداره کل نظارت و کنترل فنی، سازمان نقشه‌برداری کشور
khaksaran@ncc.org.ir

۱. مقدمه

این مقاله برخی از نتایج یک تحقیق را نشان می‌دهد که به نظر نویسنده آن می‌تواند به عنوان یک رقابت خیلی جالب آیا می‌توان از فن آوری لیزر اسکن زمینی برای سدهای بزرگ استفاده کرد؟ مورد توجه قرار می‌گیرد. کنترل رفتار استاتیکی این سازه‌های بزرگ (سد) به خاطر فشاری که به آنها اعمال می‌شود از اهمیت خاصی برخوردار است. بسیاری از تجهیزات و روش‌های مختلف نقشه‌برداری به منظور ارزیابی پایداری آنها مورد استفاده قرار می‌گیرد. به هر حال بررسی مشترک همه روش‌ها توانایی و امکان اندازه‌گیری جابه‌جایی با دقت لازم در تعدادی از نقاط بدنده سد می‌باشد. اگر یک سیستم خودکار اندازه‌گیری به کار گرفته شود تعداد نقاط کنترل کمتر می‌شوند. دستگاه لیزر اسکن

چکیده

این تحقیق نتایج برخی از طرح‌هایی که به منظور ارزیابی و امکان کنترل تغییر شکل سدهای بتنی بزرگ توسط دستگاه لیزر اسکن زمینی انجام گرفته است را نشان می‌دهد. به همین دلیل مشاهدات لیزر اسکن بر روی سد cancancan در ایتالیا انجام گرفت. در همین راستا یک شبکه ژئودتیک محلی مشاهدات لیزر به منظور زمین مرجع کردن داده‌های لیزر ایجاد شد. روی نقاط این شبکه ژئودتیک محلی عالمی نصب می‌شوند و توسط دستگاه‌های توtal استیشن با دقت لازم اندازه گیری می‌شوند. علاوه بر اندازه گیری با دستگاه توtal استیشن، این عالمی توسط دستگاه لیزر اسکن نیز اسکن می‌شوند. تعدادی از این نقاط روی بدنده سد ایجاد می‌شوند که به عنوان check point و تعدادی از آنها که در خارج از بدنده سد ایجاد می‌شوند به عنوان نقاط کنترل زمینی در پردازش داده‌ها مورد استفاده قرار می‌گیرند. سه دوره مشاهده توسط دستگاه‌های Riegl LMS-Z420i با دامنه طولانی و با دستگاه HDS3000 لایکا با دامنه متوسط انجام گرفت. تحلیل انجام گرفته در این زمینه بر روی دو مسئله اصلی متمرکز شده است:

۱. صحبت و پایداری زمین مرجع کردن که برای ارتباط و مقایسه اسکن‌های انجام گرفته در ایستگاه‌های مختلف لازم است.

۲. محاسبه تغییر شکل بر اساس تعدد نقاط به دست آمده از اسکن کلمات کلیدی: صحبت، پایش سد، تحلیل تغییر شکل، زمین مرجع کردن، لیزر اسکن کردن زمینی

۲. عملیات صحراوی

بخش اصلی این تحقیق عملیات صحراوی آن است که به منظور استفاده از دستگاه لیزر اسکن در کنترل پایداری سدها بر روی سد Cancano انجام شده است. در این قسمت نگاهی کلی در مورد سد، ایجاد شبکه ژئودتیک به منظور یافتن یک سیستم مختصات محلی دائمی (Ground Reference System -GRS)، علاوه استفاده شده به عنوان نقاط کنترل زمینی (Ground control point -GPS) برای زمین مرجع کردن و نقاطی که صرفاً به عنوان (check points) در جدول انجام مشاهدات صحراوی مورد استفاده قرار می‌گیرند بیان می‌شود.

۱.۲. دریاچه سد Cancano

سد Cancano بر روی رودخانه Adda ساخته شده و دریاچه‌ای را با حجم تقریبی ۱۲۴ میلیون متر مکعب آب ایجاد کرده است. در این منطقه دریاچه‌های مصنوعی دیگری که توسط سدهای متواالی ایجاد شده‌اند، وجود دارند. سد Cancano یک سد قوسی با ارتفاع ۱۳۶ متر و طول تاج ۳۶۱ متر می‌باشد (شکل ۱) که نگهداری آن توسط تجهیزات قدیمی به خوبی انجام می‌گیرد و برای پایش توسط سنجنده‌های قدیمی و مشاهدات دوره‌ای ژئودتیک مناسب می‌باشد. به علاوه سایر روش‌های موجود اندازه گیری تغییر شکل به منظور ارزیابی نتایج به دست آمده از لیزر اسکن از اهمیت خاصی برخوردار است. وضعیت زمین‌شناسی اطراف سد برای انجام مشاهدات لیزر اسکن مناسب است زیرا کل

اطراف دستگاه لیزر اسکن و جلو دیوار سد قرار گرفتند به طوری که علاوه بر اسکن، موقعیت سه بعدی این علاطم توسط دستگاه توtal استیشن تعیین شد. اندازه گیری‌ها به منظور به دست آوردن توده متراتکم از نقاط برای رسیدن به بالاترین مقدار دقت انجام گرفت. ایده‌ای که برای تحلیل تغییر شکل به کار می‌بریم استفاده از روش area-based مقایسه بین دو سطح ریاضی منطبق بر نقاط اندازه گیری در اپوک‌های زمانی مختلف است. بدنه سد به سطح‌های کوچک‌تر تقسیم می‌شود و روی هر کدام از این سطوح‌ها درون یابی سطحی انجام می‌گیرد. به دلیل اینکه نقاط مختلف در اسکن‌های انجام شده زمین مرجع شده‌اند همه نقاط سطح‌های مختلف در یک سیستم قرار دارند در نتیجه می‌توان کار مقایسه را مابین سطوح انجام داد و میزان جابه‌جایی را در نقاط مختلف تعیین کرد. متأسفانه عمل زمین مرجع کردن تحت تاثیر خطاهای قرار می‌گیرد لذا یک تحلیل به منظور آشکار ساختن جابه‌جایی‌های واقعی ناشی از حرکات سد لازم است. در این مرحله از انجام مقایسه و آشکارسازی تغییر شکل‌ها استفاده شده است که در قسمت ۵ بیان شده‌اند. تحلیل پایداری زمین مرجع که امری لازم و ضروری برای انجام مقایسه بین سطوح است در قسمت ۴ به تأکید بیان شده است. از طرفی دیگر در قسمت ۲ جمع آوری داده‌های مشاهداتی حاصل از عملیات صحراوی بیان شده و در قسمت ۳ در مورد اندازه گیری‌ها صحبت خواهد شد.

قادر است توده‌ای از نقاط که بدنه سد را می‌پوشانند اندازه گیری کند در نتیجه کنترل پایداری روی کل بدنه سد انجام می‌گیرد نه در تعدادی نقاط محدود، در حالی که در بسیاری از روش‌ها به علت محدودیت‌های زیاد تنها می‌توان کنترل پایداری سد را در تعداد نقاط محدودی انجام داد. در نگاه اول پاسخ سوال مطرح شده در ابتدای مقدمه منفی است، تعدادی از تحقیقات این مسئله را تایید می‌کنند ولی با این وجود علاقه محقق به کاربرد TLS^۱ در تحلیل تغییر شکل در حال افزایش است.

هر چند که دستگاه‌های با دامنه بزرگ به اندازه گیری سه بعدی نقاط در فواصل ۴۰۰-۵۰۰ متری قادر هستند ولی در سدهای بتنی به علت بالا بودن دقت لازم برای کشف جابه‌جایی و تغییر شکل نمی‌توان از آنها استفاده کرد برای بررسی این مسئله گروهی از محققان در ایتالیا فعالیتی را به منظور استفاده از دستگاه لیزر اسکن در بحث کنترل سدها آغاز کرده‌اند. این تحقیق با همکاری موسسه AEM^۲ که استفاده از یکی از سدهای را به منظور انجام کارهای تحقیقاتی باز گذاشته است، طراحی و اجرا شده است. دو دستگاه لیزر اسکن در سه اپوک زمانی May2005 ، October2005 و May2006 برای انجام مشاهدات استفاده شدند. دستگاه Riegl LMS-Z420i با دامنه بلند در دو ایستگاه به فواصل ۲۰۰ و ۳۰۰ متر از دیوار سد مستقر شد و دستگاه HDS3000 لایکا در فاصله کوتاه‌تر از سد قرار گرفت. برای اندازه گیری جابه‌جایی توسط اسکن‌ها تعداد ۶۸ علامت بر جسته در

همه علامت (15GPC+68chkps)

در May 2005 از آلمینیوم ($\phi = 120\text{mm}$) با یک صفحه دایره منعکس کننده مرکزی ($\phi = 100\text{mm}$) ساخته شده‌اند که بر روی سنگ‌های ریشه‌دار پایدار یاروی دیوار بتی سد نصب شده‌اند. موقعیت این علامت به هنگام اندازه‌گیری و ایجاد شبکه ژئودتیک (نقاط کنترل) با استفاده از روش تقاطع تعیین می‌شوند و سطح آنها نیز توسط یک ماده با خاصیت انعکاسی بالا پوشیده می‌شوند. در حالی که نقاط کنترل واقع بر بدن سد از ایستگاه‌های 1000,9000,7000,5000 شبكه ژئودتیک

توسط مشاهدات زاویه اندازه‌گیری می‌شوند. دقت اندازه‌گیری موقعیت این نقاط در حدود $\pm 3\text{mm}$ برای x ، y و z برای $\pm 4/5\text{mm}$ می‌باشد این علامت برای زمین مرجع کردن اسکن‌های به دست آمده توسط دستگاه Riegl LMS-Z420i استفاده می‌شوند به علاوه ۱۴ علامت نواری می‌شوند که در هر مرحله اندازه‌گیری با دستگاه سد در هر داده می‌شود دقت به دست آمده برای تعیین موقعیت این نقاط $\pm 4\text{mm}$ برای x ، y و z می‌باشد.



شکل ۱. نمای جلوی تاج سد Cancano

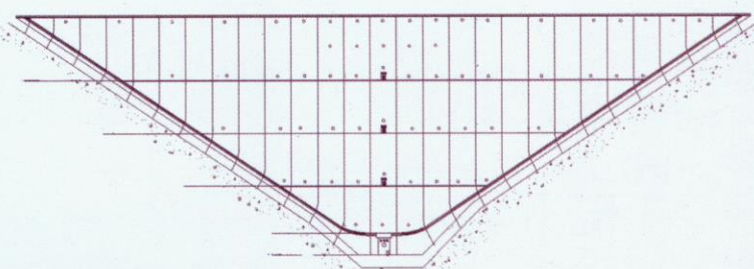
۳.۲. ایجاد نقاط کنترل

نقاط کنترل به منظور مقایسه اسکن‌هایی که در زمان‌های متفاوت انجام گرفته و زمین مرجع کردن نقاط مورد استفاده قرار می‌گیرند. از طرفی دیگر تحلیل تغییر شکل بالیزرس اسکن زمینی TLS به تایید و اندازه‌گیری‌های مستقل دیگری نیاز دارد. به این منظور علاوه بر داده‌های به دست آمده از دستگاه‌های پایش و دستگاه‌های ابرار دقیق نصب شده در بدن سد یک سری نقاط به عنوان check points بر روی قسمت جلو دیوار بتی سد ایجاد می‌شوند (شکل ۲).

دیوار سد از داخل دره جلو سد به خوبی قابل مشاهده است و انتقال دستگاه‌های اندازه‌گیری در این دره به خوبی و راحتی انجام می‌گیرد.

۳.۲. شبکه ژئودتیک

در اطراف سد یک شبکه ژئودتیک که به منظور انجام اندازه‌گیری‌های مختلف در حین ساخت سد ایجاد شده موجود می‌باشد، ولی به دلیل ساختمنان نامناسب این نقاط شبکه دیگری به منظور انجام مشاهدات لیزر اسکن شامل ۱۱ نقطه با ساختار بتی بر روی زمین ساخته شده‌اند (شکل ۳). این شبکه ژئودتیک همان GRS است. در این نقاط از ارتفاع اورتومتریک استفاده شده است. اندازه‌گیری ژئودتیک این شبکه توسط دستگاه TCA2003 در May 2005 انجام شده و با به کارگیری روش سر شکنی کمترین مربعات انحراف معیار استاندارد $\pm 2\text{mm}$ برای x و y و $\pm 3\text{mm}$ برای z برآورده شده است.



شکل ۲. موقعیت علامت بر روی قسمت جلو بدن سد که به عنوان نقاط کنترل مستقل استفاده می‌شود، در سمت چپ تصویر علامت Retro-Reflector مورد استفاده برای دستگاه لیزر اسکن LMS-Z420i نشان داده شده است.

۲.۳. توصیف و تشریح اسکن‌های

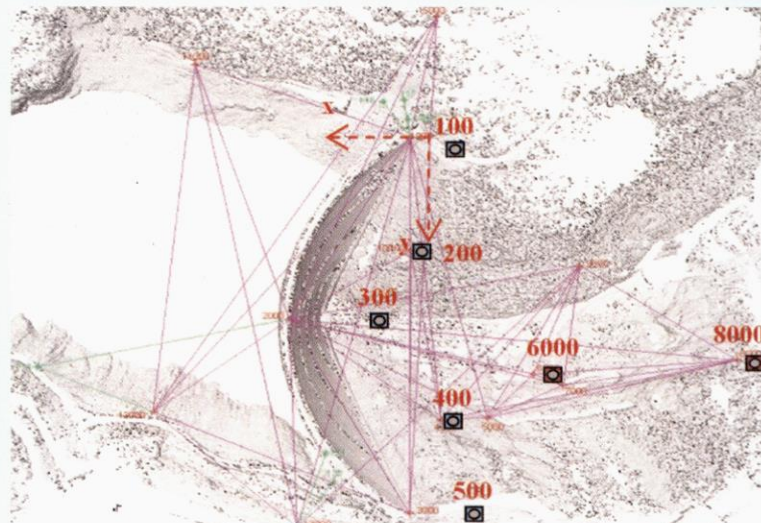
به دست آمده

۱.۲.۳. اسکن‌های به دست آمده با

Riegl LMS-Z420i

اسکن‌های به دست آمده با این دستگاه از ایستگاه ۶۰۰۰ به فاصله حدودی ۲۰۰ m از بدن سد و ایستگاه ۸۰۰۰ به فاصله ۳۰۰ m از بدن سد حاصل شده است. ناحیه اسکن شده بخش مرکزی دیوار سد است که زیاد در معرض تغییر شکل قرار دارد. در جدول ۳ برخی از ویژگی‌های اسکن‌ها آورده شده است. زمین مرجع کردن نقاط توسط علامت‌های توصیف شده در قسمت ۲-۲ انجام شده است. اندازه‌گیری‌های نقاط کنترل واقع شده بر سمت جلو دیوار سد فقط به منظور اطمینان به نتایج، انجام گرفته است. استفاده از اسکن‌های متعدد با

جدول ۱. مشخصات تکنیکی اصلی TLS در آزمایش نمایش تغییر شکل



شکل ۳. شبکه ژئودئیکی مورد استفاده برای استقرار دستگاه لیزر اسکن

۳. جمع‌آوری داده‌ها در طول

دوره‌های اندازه‌گیری

۱.۳. هماهنگی و تطابق لیزر اسکن‌ها روش لیزر اسکن به دو صورت برای اندازه‌گیری و جمع‌آوری داده‌ها مورد استفاده قرار می‌گیرد. نخست اندازه‌گیری با دامنه طولانی توسط دستگاه Riegl و دوم اندازه‌گیری با دامنه متوسط توسط دستگاه HDS3000. در جدول ۱ برخی جزئیات در مورد هر دو دستگاه و روشی که مورد استفاده قرار گرفته آورده شده است.

۲.۳. طرح دوره‌های اندازه‌گیری

در انجام مشاهدات هر دوره طوری برنامه‌ریزی شده که مشاهدات مطابق با بالاترین خط تراز آب (اوایل پاییز) و پایین‌ترین خط تراز آب (اواخر بهار) انجام گیرند. مطابق با این موضوع، سه اپوک اندازه‌گیری انجام شده که در جدول ۲ گزارش شده است. به دلیل کاهش بارش برف در زمستان ۲۰۰۵ بالاترین خط تراز آب

Instrument	Riegl LMS-Z420i	Leica HDS300
Acquisition speed (points/s)	Up to 12k	Up to 2k
Measurement range(m)	1000 ± 2	100 ± 1
St.dev. of single rangeMean(mm)	20 p.p.m. ± 10	4@50m
Angular resolution (deg)	0.0025	0.0034
Horiz.& Ver. FoV(deg)	360*80	360*270
Laser beam-width(mm)	25@100m	6@50m
Wave-length(nm)	25@100m	6@50m
Size(mm) 436*210(H*D)	Near infrared	532
Weight(kg)	14,5	12
Integrated CCD camera	Nikon D100	Internal

کشور پردازی نقشه سازمان

توانمندترین تولید کننده نقشه و اطلاعات مکانی

در بین کشورهای منطقه،

آماده ارائه خدمات فنی و مهندسی

به همهی بخش‌های اجرایی و برنامه‌ریزی

در سطح ملی و منطقه‌ای

تلفن امور مشتریان: ۰۵۱۱۰۷۶۶۰

فروش اینترنتی: www.ncceshop.ir

رسالت خطیر
سازمان نقشه‌برداری کشور
راهبری، نظارت و ساماندهی
تولید و انتشار نقشه و اطلاعات مکانی
در سطح ملی

سال ۱۳۸۸

تدوین الکوی توسعه ایرانی - اسلامی
با
منظومه ملی اطلاعات مکانی

نقاط کنترل همیشه به معنای بهبود دقت نیست. احتمالاً این امر به دلیل اشتباهاتی است که در اندازه‌گیری علائم وجود دارد و باید حذف شوند. برای بررسی اثر خطاهای برروی پارامترهای زمین مرجع، واریانس مختصات مرکز IRS مستقیماً به واریانس نقاط اسکن شده سه بعدی اضافه می‌شود. این واریانس‌ها به طور کلی در حد چند میلی‌متر هستند. اثر خطاهای دورانی به موقعیت سه بعدی نقاط انتشار می‌یابد. اختلاف بین پارامترهای برآورده شده برای هر اسکن ناشی از اختلاف میانگین مطلق $\frac{3}{4} \text{ mm}$ برای x_0, y_0, z_0 و $\frac{7}{3} \text{ mgon}$ برای دوران می‌باشد. آزمون‌های دیگری برای کیفیت زمین مرجع کردن با ثابت گرفتن پارامترهای برآورده شده با نقاط کنترل بیرون از قسمت پایین دست دیوار سد و با محاسبه باقیمانده‌های نقاط ChkPs برروی سازه جدول ۳. مشخصات اسکن‌های گرفته شده برای

نمایش تغییر شکل توسط دستگاه
Riegl LMS-Z420i

scan	6000	8000
Scanning time (min)	70	55.6
#total measured points	7.55M	8.22M
Angular resolution(deg)	Horz.	0.014
	Vert.	0.014
Point density(1/cm ²)	Min.	0.31
	Max.	0.14
Acquisition range(m)	Min.	148
	Max.	320
Fov(deg)	Horz.	37.4
	Vert.	41.8
Laser beam spot-size(m)	Min.	0.37
	Max.	0.054
		0.080

جدول ۲. جزئیاتی در مورد دوره‌های اندازه‌گیری، جایه‌جایی‌های مسطحاتی در امتداد محور × نسبت به یک مبدأ محلی داده شده است.

Measurement campaign	Date	Water level height (m on s.l.)	Horizontal displacement on the middle of dam creast(mm)
May2205	2-5 may	1852	-12
Oct2005	27-28 oct	1894	-34
May2006	8-9 may	1842	-5

۴بار تکرار باعث کاهش انحراف استاندارد اندازه‌گیری‌ها در حد نصف خواهد شد.

۲.۲.۳. اسکن‌های به دست آمده با دستگاه HDS3000

توسط این دستگاه در ۵ ایستگاه که در فواصل ۵۰-۱۲۰ متر از دیوار سد قرار دارند چند اسکن گرفته شده است. در روی نقشه این ایستگاه‌ها عبارتند از: 100,200,300,400,500.

کل دیوار پایین دست سد از این ایستگاه‌ها اسکن شده است

۱.۴. زمین مرجع کردن اسکن‌های Riegl LMS-Z420i

به دست آمده با دستگاه Riegl LMS-Z420i زمین مرجع کردن هردو سری اسکن با تعیین موقعیت (۹-۱۰) نقطه کنترل که در خارج سد در نظر گرفته شده اند انجام می‌شود. برای کنترل پایداری زمین مرجع از نقاط ChkPs استفاده می‌شود به این منظور با ثابت گرفتن مختصات این نقاط برآوردهای دیگری برای اسکن‌ها نیز به دست می‌آید. نتیجه نهایی این آزمون، کنترل پایداری سیستم مرجع توسط نقاط ChkPs می‌باشد که در خارج از بدنه سازه قرار گرفته‌اند. برآورد انحراف از معیارهای پارامترهای زمین مرجع در جدول ۴ آورده شده است. همچنان که از جدول ۴ پیداست انحراف از معیارهای داره گروه از نقاط کنترل مشابه است به علاوه اضافه کردن

۴. تحلیل پایداری زمین مرجع

در تحلیل تغییر شکل سد تعریف یک سیستم مرجع زمینی پایدار GRS لازم و ضروری است درین آزمون، سیستم مرجع توسط نقاط شبکه ژئودتیک ایجاد می‌شود و

جدول ۴: برآورد صحت پارامترهای زمین مرجع با در نظر گرفتن دو دسته از نقاط GCPs

Scan	Camp.	GCP	σ_0 (mm)	St.dev. s of coordinates of IRS origin(mm)			St.dev.s of rotation(mgon)		
				X_0	Y_0	Z_0	α	ϕ	κ
6000	May2005	9	5.7	4.5	5.0	5.1	2.6	2.5	2.1
		42	5.8	3.1	3.4	3.6	1.2	1.4	1.3
	Oct2005	10	9.8	4.6	4.8	5.3	4.2	2.3	1.9
		41	6.7	2.5	2.7	2.8	1.4	1.2	1.0
	May2006	10	7.3	2.8	2.8	3.2	9.9	10.6	1.3
		43	10.6	3.2	3.4	3.6	9.9	9.9	1.3
	May2005	9	6.4	2.8	2.8	3.0	3.8	1.6	1.0
		43	8.8	3.5	3.7	3.8	1.9	1.2	0.8
8000	Oct2005	10	12.0	5.5	5.6	5.6	5.3	2.1	1.7
		40	8.3	3.4	3.6	3.7	1.4	0.8	0.8
	May2006	9	6.1	2.7	2.8	2.9	3.0	1.2	0.9
		47	8.0	3.1	3.2	3.4	1.3	0.8	0.7

جدول ۵: باقیمانده نقاط ChkPs مستقل

scan	Camp.	Residual on ChekPs(mm)					
		#	Mean			St.dev.	
			ΔX	ΔY	ΔZ	ΔX	ΔY
6000	May2005	39	-14	-7	-4	± 9	± 9
	Oct2005	31	3	-2	2	± 6	± 7
	May2006	30	-2	1	1	± 8	± 13
8000	May2005	34	-2	-4	-8	± 6	± 12
	Oct2005	30	-1	-4	9	± 5	± 7
	May2006	24	-7	3	-5	± 8	± 10

انجام می شود. محاسبات آماری برروی باقیمانده ها (جدول ۵) دو جنبه را نشان می دهد. اولاً مقادیر میانگین از مقادیر خیلی پایین (به طور مثال اسکن 6000 در پاییز ۲۰۰۵ و ۲۰۰۶) تا مقادیر بزرگتر متغیر می باشند که می تواند ناشی از خطای زمین مرجع و خطای اندازه گیری عالم باشد. به علاوه رفتار باقیمانده ها مستقل از نوع مختصات است و این به معنای این است که در همه اسکن ها خطای امتدادی متداولی وجود ندارد. تحلیل دقیق تر توزیع هندسی باقیمانده نقاط ChkPs برخی مشکلات مریبوط به اندازه گیری موقعیت عالم را در IRS نشان می دهد. احتمالاً این ناشی از متغیر بودن زاویه برخورد اشعه لیزر

جدول ۶ محاسبات آماری بر روی اختلاف‌های به دست آمده از درون‌یابی‌های مختلف اسکن 8000

Compared dataset	8000 Oct 2005		8000 May 2006	
	Mean(mm)	St.dev.(mm)	Mean(mm)	St.dev.(mm)
Resampled "multi-scan" Triangular mesh	6	3±	4	2±
Triangular mesh-3D polynomial	0.5	3±	0.4	5±
3D polynomial surface -Resampled "multi-scan"	1	8±	2	8±

مجدد آن در May 2006 انجام شده است.
۲. چند جمله‌ای‌های سطحی Oct 2005
May 2006 که نمونه‌برداری مجدد آن در انجام شده است.

۳. شبکه Oct 2005 و شبکه May 2006
۴. چند جمله‌ای‌های سطحی شبکه Oct 2005 و چند جمله‌ای‌های سطحی May 2006 در هردو مورد ۱ و ۲ تغییر شکل براساس معیار کم ترین فاصله بین هر نقطه اسکن و سطح برآذش داده شده بر اسکن دیگری می‌باشد.

دردو مورد ۳ و ۴ تغییر شکل بر مبنای نقاط متناظر دریک شبکه منظم می‌باشد.
در شکل ۵ برخی نقشه‌های رنگی نشان‌دهنده تغییر شکل از قسمت‌های مختلف دیوار سد که از ایستگاه 8000 اسکن گرفته شده بر اساس مقایسه‌های مختلف آورده شده است. ارزیابی تغییر شکل در نقطه وسط تاج سد مطابق با مقادیر به دست آمده با دستگاه توtal استیشن می‌باشد که در جدول ۲ آورده شده است. به علاوه تغییر شکل‌های سطحی در اقیانوس قسمت‌های سطح بیرونی دیوار سد مطابق با رفتار طبیعی سازه سد می‌باشد.

سطح دیوار به زاویه نرمال نزدیک‌تر بوده بنابراین میزان نویز (علائم ناخواسته) در اندازه‌گیری‌های سه بعدی کمتر از میزان آن در اسکن‌های گرفته شده از ایستگاه 6000 می‌باشد. اولین مرحله پردازش انجام نمونه‌برداری مجدد از توده نقاط متراکم دریک شبکه دوبعدی ۲cm در امتداد مماس بر سطح دیوار سد می‌باشد. این مرحله برای انتخاب نقاط یکسان در اسکن‌های متعدد لازم است، نقاط با انحراف استاندارد ۱cm در این نمونه‌برداری نادیده گرفته شوند. دو نوع سطح متفاوت درون‌یابی می‌شوند، اولی شبکه مثلثی که توسط نقاط نمونه برداری شده تعریف و محاسبه می‌شود. در این مثلث‌بندی چند جمله‌ای‌های سه بعدی برای درون‌یابی مورد استفاده قرار می‌گیرند. در جدول ۶ نتایج درون‌یابی آورده شده است.

میانگین اختلاف معنی دار تنها در نقاط نمونه‌برداری از اسکن‌های متعدد ظاهر می‌شود. در نقاط دیگر درون‌یابی باعث افزایش انحراف استاندارد اختلاف ناشی از low-pass فیلتر می‌شود.
درنهایت ۴ مقایسه متفاوت انجام شده است:

۱. شبکه Oct 2005 که نمونه‌برداری

روی مواد منعکس کننده علائم می‌باشد. این مسائل که توصیه می‌شود بیشتر به آن توجه شود، به چند میلی متر محدود می‌شود و در تحلیل نخست نادیده گرفته شده است. سر انجام انحراف استاندارد با قیمانده‌ها در همه مختصات‌ها در حدود ۷/۹mm در نظر گرفته شده است. این حقیقت نشان می‌دهد که بخشی از خطاهای کوچک ناشی از geo referencing و صحت اندازه‌گیری علائم، کاملاً ثابت است.

۵. اولین نتایج پاییش

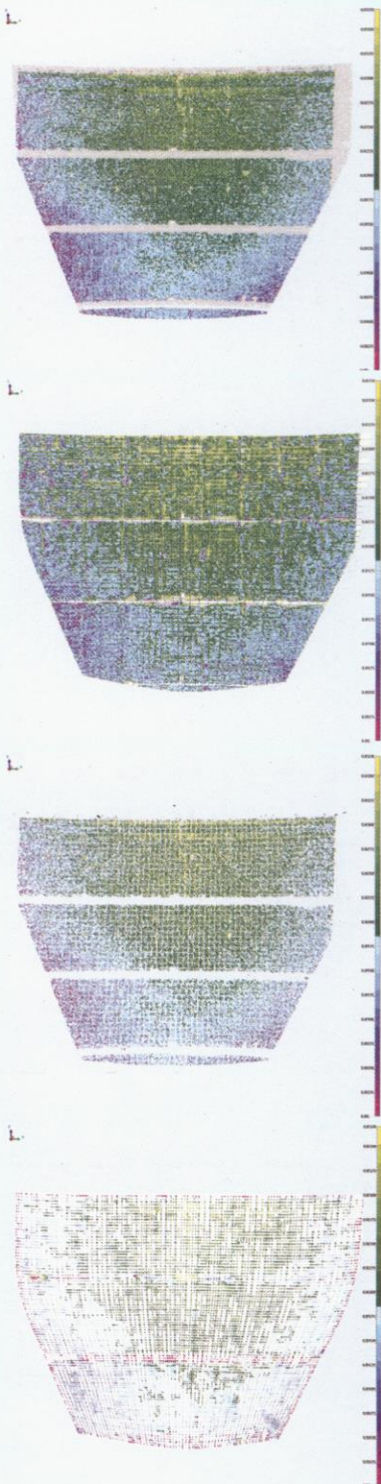
هدف نهایی این طرح ارزیابی امکان به کار بردن دستگاه لیزر اسکن برای تحلیل تعییر شکل سدها می‌باشد. فن آوری لیزر اسکن قادر است توده‌ای متراکم و دقیق از نقاط را که نشان‌دهنده سطح خارجی سد هستند جمع آوری کند. مatasfane به رغم اینکه اسکن‌های مختلف دریک سیستم مرجع زمین مرجع می‌شوند تحلیل تعییر شکل را مستقیماً با استفاده از این توده نقطه نمی‌توان انجام داد. این به دلیل عدم امکان اسکن کردن نقاط یکسان در دوره‌های زمانی مختلف بوده که آن هم ناشی از عدم امکان استقرار مجدد دستگاه لیزر اسکن بر روی نقاط یکسان دوره‌های قبلی و پنهانی اشعه لیزر می‌باشد. برخی آزمون‌ها بر روی اسکن‌های گرفته شده از ایستگاه 8000 در October 2005 و ۶ May 2006 با دستگاه Riegl LMS-Z420i انجام شده است. در عین حال که این ایستگاه دورترین ایستگاه از سد می‌باشد، زاویه برخورد اشعه‌های لیزر با

گرفتن درفواصل حتی بیشتر از ۳۰۰ متر باعث کاهش دقت می شود این مسئله دارای اهمیت خاصی است. چرا که در اکثر سدها به علت وضعیت توپوگرافی به ایجاد ایستگاه های استقرار دستگاه لیزر اسکن در فواصل دور از بدنه سد ناچار می باشیم. قسمت تکمیلی پردازش داده ها شامل پردازش داده های به دست آمده با دستگاه HDS3000 لایکا می باشد. در این حالت دو مسئله اصلی مطرح می شود. نخست بهبود دقت زمین مرجع کردن اسکن ها است که وابسته به توزیع هندسی نقاط کنترل زمینی می باشد. نتایج گزارش شده در قسمت ۴ نشان دهنده تغییرات بزرگ در پایداری زمین مرجع کردن می باشد که ظاهرا تاثیرات پارامترهای داخلی نادیده گرفته شده است. اندازه گیری علائم مسئله دیگری است که باید مورد توجه قرار گیرد زیرا این مسئله احتمالاً وابسته به زاویه برخورد اشعه های لیزر با سطح علائم می باشد. همچنین عکس العمل موارد منعکس کننده سطح علائم مسئله دیگری است که باید توسط آزمایش های صحرابی انجام شود. به هر حال افزایش تعداد علائم برای بهبود اعتماد پذیری زمین مرجع کردن می تواند راهبرد خوبی باشد. دو مین جنبه ای که باید به آن توجه کرد فن تحلیل تغییر شکل می باشد که در این مرحله تنها راه حل، استفاده از نرم افزارهای تجاری می باشد ولی استفاده از مدل های درون یابی بهبود یافته مفید می باشد.

سرانجام با استفاده از این نوع داده ها در سازه های مهندسی انتظار می رود که

۶. نتیجه گیری نهایی و ادامه کار

نتایج نشان داده شده در قسمت ۵ نشان می دهد که روش لیزر اسکن قادر است که تحلیل تغییر شکل را برای سدهای بزرگ انجام دهد. اولین نتایج به دست آمده از پردازش داده ها که تاکنون انجام شده است نقشه های دقیق تغییر شکل از قسمت پایین دست دیوار سد می باشد. در شکل ۵ تعدادی نقشه تغییر شکل که بر اساس مقایسه اسکن های گرفته شده در زمان های متفاوت به دست آمده دیده می شود. این یافته ها در مقایسه با روش های قدیمی که برای تغییر شکل به کار می روند می توانند به عنوان روشی جدید در نظر گرفته شوند. برای تکمیل این طرح نقشه های تغییر شکل مشابهی را می توان از SAR^۳ زمینی تهیه کرد هر چند که لیزر اسکن عملی تراست. اگر رادارهای زمینی بتوانند اندازه گیری های دقیق تغییر شکل انجام دهند نیازمند ایستگاه های دایمی برای استقرار می باشند. اگر هرنوع ناپیوستگی در جمع آوری داده به وجود آید اندازه گیری تعیین تغییر شکل با دقت کمتری انجام خواهد شد. در حالی که لیزر اسکن قادر است داده ها را به صورت ناپیوسته نیز جمع آوری کند به شرطی که نقاط کنترل زمینی در محل های پایداری ایجاد شده باشند به طوری که بتوان تعیین موقعیت را در سیستم محلی یکسان انجام داد. این مسئله را می توان به کمک علائم دایمی یا با تعیین موقعیت علائم جدید به کمک نقاط شبکه ژئودتیک انجام داد. آنچه که قابل توجه است این است که اسکن



شکل ۴. نقشه های تغییر شکل های به دست آمده از مقایسه رویه های مختلف حاصل از اسکن های گرفته شده از ایستگاه 8000 در Oct2005 و May 2006

۸. منبع

www.isprs.org/commission5/proceedings06/paper/1271_Dresden06.pdf

۷. پانوشت‌ها

- 1- Terrestrial Laser Scanning
- 2- Azienda Elettrica Municipale
- 3- Satellite Aperture Radar

برکاربرد آنها درآینده تاثیر بگذارد. روش لیزر اسکن می‌تواند روش مفیدی برای پایش دورهای باشد، نه برای پایش‌های پیوسته که در آن سنجنده‌های موجود برای کنترل در تعدادی نقاط بحرانی محدود کفايت می‌کند. در مقابل تغییر شکل‌های فصلی سد که می‌تواند تحلیل محاسبات را بهتر کند، اخیراً تنها با طراحی هندسه سازه می‌توان انجام داد.

برگ درخواست اشتراک نشریه علمی و فنی نقشه‌برداری



امور مشترکین نشریه نقشه‌برداری

به پیوست قبض شماره به مبلغ ریال بابت اشتراک نشریه علمی و فنی نقشه‌برداری ارسال می‌گردد.
لطفاً اینجانب/ شرکت را جزء مشترکین نشریه نقشه‌برداری محسوب و تعداد نسخه از هر شماره را به آدرس زیر ارسال نمایید:
.....
.....
.....
.....

کد پستی: تلفن:

محل امضاء



متلاصقی محظوظ: لطفاً برای اشتراک نشریه علمی و فنی نقشه‌برداری در تهران و شهرستانها مبلغ موردنظر را به حساب شماره ۳۱۷۱۰۳۹۰۰۴۰۰ نزد بانک ملی ایران، شعبه سازمان نقشه‌برداری کشور، کد ۷۰۷ (قابل پرداخت در کلیه شعب بانک ملی) واریز نموده و اصل رسید بانکی را به همراه درخواست تکمیل شده به نشانی زیر ارسال نمایید:
تهران، میدان آزادی، خیابان معراج سازمان نقشه‌برداری کشور، صندوق پستی: ۱۶۸۴-۱۳۱۸۵، اداره امور مشترک ریاست

تلفن دفتر نشریه: ۶۶۰۷۱۱۳۵

تلفن سازمان: ۶۶۰۷۱۰۰۱-۹

تلفن داخلی اشتراک ۴۱۸

دورنگار: ۶۶۰۷۱۰۰۰

(ضمما حداقل مبلغ اشتراک برای ارسال ۱۲ نسخه نشریه ۱۳۰۰۰ ریال است).

مزوری بر پارامترهای تبدیل بین سیستم‌های مختصات ITRF و WGS84 و ED50

گردآوری:

کاردان کارتوگرافی اداره کل GIS، سازمان نقشه‌برداری کشور

نیره اسماعیلی تکلیمی

nayyerehesmaeli@ncc.org.ir

نقشه‌برداری، ثقل و ...، مورد استفاده قرار گرفته شده است [۷]. این سیستم بر پایه بیضوی بین المللی هایفورد^۴، پی‌ریزی شده است. این بیضوی بعد از معرفی آن تو سطح زئوندزی و دیزین آمریکایی، اتحادیه بین المللی زئوندزی و زئوفیزیک (IUGG)^۵ به عنوان بیضوی بین المللی پذیرفته شد. مشخصات این بیضوی بدین صورت است:

$$a=6,378,388,000 \text{ m}$$

$$f=1/297.00$$

۳. بیضوی WGS 84

وزارت دفاع آمریکا (DoD)^۶ بیضوی WGS84 را برای مقاصد ناوبری، تعیین موقعیت، تهیه چارت‌های دریایی و ...، توسعه داد. سیستم مرجع اولیه در سال ۱۹۸۷ با استفاده از مشاهدات داپلر^۷، سیستم ماهواره‌ای ناوبری دریایی^۸ یا ترانزیت^۹ را ایجاد کرد و آن را WGS84(Transit) نامید. نسخه اولیه سیستم WGS84 با سیستم NAD83 ۱۹۸۶^{۱۰} مطابقت دارد. عموماً فرض می‌شود این دو سیستم در آمریکای شمالی یکسان هستند.

می‌توان پارامترهای تبدیل بین دو سیستم مختصات را به دست آورد و از این پارامترها برای تبدیل سایر نقاط موجود در دو سیستم و نیز تعیین باقیمانده خطاهای بر روی کلیه نقاط دو سیستم استفاده نمود.

۲. سیستم مختصات ED50

این سیستم یک دیتوم زئودتیکی است که بعد از جنگ جهانی دوم برای اتصال شبکه‌های زئودتیکی اروپا تعریف شد. مناطق درگیر در جنگ جهانی دوم بیشتر شامل مرزهای آلمان، هلند، بلژیک و فرانسه بود، بدلیل استفاده از سیستم‌های متفاوت در تهیه نقشه هر کدام از این کشورها؛ این نقشه‌ها دارای ناسازگاری در امتداد مرزها بودند. این موضوع منجر به ایجاد یک سیستم به عنوان یک دیتوم سازگار برای اکثر کشورهای اروپای غربی به غیر از انگلیس، سوئیس، سوئد و ایسلند که دارای دیتوم‌های مخصوص به خود هستند، را باعث شد [۵].

این سیستم تا سال ۱۹۸۰ که سیستم WGS84 ایجاد شد در سطح وسیعی به کار گرفته شد. تاکنون این سیستم در اموری مانند کاداستر، شبکه‌های کوچک

چکیده

در این مقاله سطوح مبنای مسطحاتی ED50 و WGS84 و ITRF و پارامترهای تبدیل این سطوح به یکدیگر با استفاده از مدل Bursa-Wolf توجیه محورهای مختصاتی سیستم‌ها نسبت به یکدیگر، بررسی شده است.

۱. مقدمه

در زئوندزی سیستم‌های مختصات مختلفی برای اهداف و کاربردهای مختلف تعریف و ایجاد شده‌اند. به عنوان مثال می‌توان از شبکه‌های ملی GPS ایران در سیستم WGS84 و ایستگاه‌های شبکه زئودینامیک سراسری ایران در سیستم مختصات ITRF نام برد. به منظور مقایسه سیستم‌های مختصات و نیز اتصال آنها به یکدیگر (به عنوان مثال، بهینه‌سازی شبکه‌های ملی GPS با استفاده از شبکه زئودینامیک سراسری ایران) می‌بایست نقاط مشترکی بین دو سیستم مختصات که دارای مختصات معلوم هستند را در نظر گرفت. با استفاده از این نقاط معلوم و یک مدل تبدیل، البته با در نظر گرفتن نیازها (به عنوان مثال، دقت نقاط تبدیل یافته)

Doppler و DORIS^{۲۲} (تعیین موقعیت رادیویی) با استفاده از امکانات نصب شده بر روی ماهواره‌ها (سیستم فرانسوی) هستند. با استفاده از هر یک از این روش‌ها می‌توان سیستم مرجع جداگانه تهیه کرد ولی با استفاده از مشاهدات تمامی روش‌ها، میزان خطاهای در تعیین موقعیت و تعیین سرعت ایستگاه‌ها را به حداقل رساند. از سیستم‌های ITRF برای اندازه‌گیری حرکت صفحات تکتونیکی، فرونشست‌ها، بالاً‌آمدگی مناطق مختلف، حرکات دورانی زمین در فضای و....، استفاده می‌کنند.

در این سیستم مبدأ، مرکز ثقل زمین (شامل زمین و اتمسفر) است. محور X با استفاده از نصف‌نهار گرینویچ تعريف می‌شود و محور Z به سمت $\text{CIO}^{(3)}$ که توسط سرویس جهانی عرض جغرافیایی^{۲۳} در فاصله زمانی ۱۹۰۰-۱۹۰۵^{۲۴} تعریف شده است، توجیه می‌شود.

از سال ۱۹۸۸ تا کنون ۱۱ نسخه از این نوع سیستم تعریف شده است که عبارتند از:

ITRF97, ITRF2000, ITRF2005

ITRF92, ITRF93, ITRF94, ITRF96,

ITRF88, ITRF89, ITRF90, ITRF91,

در سیستم ITRF2005^{۲۵} بر خلاف تمامی نسخه‌های ITRF که از ترکیب نتایج بلند مدت مشاهدات محاسبه شده‌اند، از سری‌های زمانی هفتگی مختصات ایستگاه‌ها و نیز پارامترهای روزانه دوران EOPs⁽²⁵⁾، محاسبه شده است. مبدأ این سیستم طوری تعریف شده است که کمترین نرخ و حرکت نسبت به مرکز جرم زمین داشته باشد. مرکز جرم زمین با استفاده از

۸۶۴۰۱ ثانیه می‌رسد که به این ثانیه اضافی، ثانیه جهشی^{۲۶} می‌گویند. اختلاف بین UTC و UT1^{۲۷} بیشتر از $0/9$ ثانیه نیست. زمان UTC با استفاده از فرستنده‌های رادیویی در کل دنیا پخش می‌شوند.

مشخصات بیضوی سیستم WGS84 بدین صورت است:

$$a=6378137.0 \text{ m}$$

$$f=1/298.257223563$$

در سال ۱۹۹۴ وزارت دفاع آمریکا نسخه‌ای از این سیستم را معرفی کرد که در تعریف آن به طور کامل از مشاهدات GPS به جای مشاهدات داپلری استفاده شد. این نسخه جدید (G730) WGS84 نامیده می‌شود. حرف G معرف GPS و عدد ۷۳۰ معروف هفته GPS (شروع از ساعت صفر ۱۹۸۴^{۲۸} روز ۶ ژانویه) هستند. این نسخه در حالت کلی با سیستم ITRF92 (مبدأ ۱۹۹۴.۰) با دقیقی در حدود چند سانتی‌متر یکسان فرض می‌شود.

نسخه سوم WGS84 که (G873) نامیده می‌شود در ۲۹ سپتامبر ۱۹۹۶ معرفی و به وسیله بخش کنترل عملیاتی GPS در ۲۹ ژانویه ۱۹۹۶ پذیرفته شد. این نسخه کاملاً بر پایه مشاهدات GPS پریزی شده است (هفته GPS از ساعت صفر UTC روز ۲۹ سپتامبر ۱۹۹۶ شروع می‌شود). این نسخه در حالت کلی با سیستم ITRF94 (اپک ۱۹۹۷.۰) با دقیقی در حدود چند سانتی‌متر یکسان فرض می‌شود.

آخرین نسخه از سیستم WGS84 در ۲۰ ژانویه ۲۰۰۲ پذیرفته شد و آن را (G1150) نامند. این سیستم در حالت کلی با سیستم ITRF2000 (اپک ۱۹۹۷.۰) با دقیقی در حدود یک سانتی‌متر یکسان فرض می‌شود. این نسخه در حدود ۲ متر با سیستم NAD83 (۱۹۸۶) اختلاف دارد.

زمان بین‌المللی هماهنگ (UTC) یک استاندارد زمانی است که بر پایه زمان اتمی بین‌المللی (TAI)^(۲۹) و ثانیه جهشی تعريف می‌شود. اغلب روزهای UTC دقیقاً ۸۶۴۰۰ ثانیه دارند ولی بعضی اوقات این عدد به

۴ چارچوب بین‌المللی زمینی

مرجع

معمولًا در ژئودزی از دو نوع سیستم سماوی و زمینی استفاده می‌شود. سیستم زمینی نسبت به زمین، ثابت و همراه زمین دوران می‌کند. سیستم سماوی یک سیستم ضرورتا اینرشیال نسبت به ستاره‌هاست. سیستم سماوی با استفاده از استوا، اکلپتیک و قطب محور دورانی زمین تعريف می‌شود. در این سیستم ستاره‌ها با استفاده از مختصات دو بعدی معرفی می‌شوند.

چارچوب بین‌المللی زمینی مرجع^(۳۰) سیستمی است که در حرکات سماوی به همراه زمین دوران می‌کند. نسخه‌های این سیستم (ITRF) شامل مجموعه‌ای از ایستگاه‌های دارای موقعیت و سرعت تعیین شده با استفاده از روش‌های فضایی VLBI^(۳۱), GPS^(۳۲), SLR^(۳۳) و LLR^(۳۴)

مختصات هستند، احتیاج هست. با افزودن نقاط بیشتر و اعمال سرشکنی کمترین مربعات می‌توان برآورده از دقت پارامترهای تبدیل را محاسبه کرد.

۶. تبدیل سیستم ED50 به سیستم WGS84 و بر عکس

در سال ۱۳۷۰ مدیریت محاسبات سازمان نقشه‌برداری کشور با استفاده از ۲۴۲ نقطه که در دو سیستم WGS84 و ED50 که دارای مختصات بودند و نیز مدل پارامترهای تبدیل دو سیستم به Bursa-Wolf یکدیگر را به دست آورد. نتایج این تبدیلات در جداول ۱ و ۲ گنجانده شده‌است [۱].

۷. تبدیل سیستم WGS 84 به سیستم ITRF و بر عکس

به طور کلی سیستم ITRS و نسخه‌های این سیستم (ITRFyy) با سیستم WGS84 در سطح دقت یک متر مساوی هستند. همان‌طور که قبلاً نیز اشاره شد دو نوع سیستم WGS84 در حال حاضر وجود دارد. در تبدیلی که بین سیستم WGS84 و سیستم ITRF90 (TRANSIT) انجام شده است پارامترهای تبدیل مطابق جدول ۳ برآورده شده‌است:

نسخه‌های جدید سیستم WGS84 (G730, G873 and G1150) با دقیقی در سطح ۱۰ سانتی‌متر با سیستم ITRF مطابقت می‌کنند. برای این نسخه‌ها پارامترهای تبدیل رسمی وجود ندارد [۶].

زمان UT0 و با تصحیح حرکت قطب بر روی عرض جغرافیایی ایستگاه‌های مشاهداتی محاسبه می‌شود.

ب- حرکت قطب: تعیین مختصات x و y محور دوران لحظه‌ای زمین نسبت به CIO. ج- توجیه محور دورانی زمین در فضای وسیله مدل‌های نویشن و پرسشن تعیین می‌شود.

۵. مدل تبدیل Bursa-Wolf

برای تبدیل دیتوم‌های ژئودتیک به همدیگر می‌توان از مدل ۷ پارامتری متشابه Bursa-Wolf استفاده کرد. این مدل عبارت است از :

$$\begin{bmatrix} X \\ Y \\ Z \end{bmatrix}_2 = \begin{bmatrix} dx \\ dy \\ dz \end{bmatrix} + (1+ds) \times \begin{bmatrix} 1 & rz & -ry \\ -rz & 1 & rx \\ ry & -rx & 1 \end{bmatrix} \begin{bmatrix} X \\ Y \\ Z \end{bmatrix}_1$$

در این مدل rx , ry و rz پارامترهای دوران محورهای دو سیستم نسبت به هم، پارامتر مقیاس و dx , dy و dz پارامترهای انتقال دو سیستم نسبت به همدیگر هستند. در این مدل فرض بر این است که زوایای دوران کوچک هستند. بردار $[X \ Y \ Z]$ بردار موقعیت در دیتوم ژئودتیکی اول و بردار موقعیت در دیتوم ژئودتیکی دوم هستند. زوایا بر حسب رادیان و انتقال‌ها بر حسب متر هستند. در این مدل برای به دست آوردن پارامترهای تبدیل به حداقل سه نقطه که در دو سیستم دارای

مشاهدات ۱۳ ساله سیستم (SLR) محاسبه شده است. مقیاس این سیستم با استفاده از مشاهدات ۲۶ ساله (VLBI) محاسبه شده است.

در سیستم‌های ITRF مستقیماً از بیضوی استفاده نمی‌شود. مختصات مورد استفاده در این نوع سیستم‌ها کارتزین هستند. اما برای تبدیل این مختصات به سیستم مختصات منحنی الخط (ϕ, λ, h) می‌توان از بیضوی GRS80 که دارای مشخصات ذیل است استفاده کرد:

$$a=6378137.0 \text{ m}$$

$$1/f=298.257222101$$

سرویس جهانی دوران زمین (IERS) مسئولیت ایجاد و نگهداری هر دو سیستم ITRS و ICRS را بر عهده دارد. سیستم ITRS استفاده از پارامترهای دوران زمین و حرکت پرسشن و نویشن و UT1-UTC به سیستم ICRS متصل می‌شود. پارامترهای دوران زمین نامنظم بودن دوران زمین را توصیف می‌کنند. در واقع این پارامترها دوران سیستم ITRS را نسبت به سیستم ICRS به عنوان تابعی از زمان بیان می‌کنند. این پارامترها عبارتند از:

الف- زمان UT1: زمان جهانی یک مقیاس زمانی است که بر پایه دوران زمین تعریف می‌شود. این زمان در واقع توسعه مدرن زمان نجومی متوسط نصف‌النهار گینویچ (GMST) است. زمان UT0 با استفاده از حرکت روزانه زمین و با استفاده از مشاهدات منابع رادیویی خارج کیهانی و همچنین اندازه‌گیری فواصل تا ماه و ماهواره‌ها در ایستگاه‌های مشاهداتی، محاسبه می‌شود. زمان UT1 با استفاده از

جدول ۲. پارامترهای تبدیل سیستم مختصات ED50 به سیستم WGS84 در ایران

شماره	پارامتر	مقدار	واحد
1	Shift dx	-110.330	متر
2	Shift dy	-97.728	متر
3	Shift dz	-119.847	متر
4	Rotation (x)	.342260	ثانیه
5	Rotation (y)	1.163380	ثانیه
6	Rotation (z)	.271495	ثانیه
7	Scale	1.000000063	

جدول ۱. پارامترهای تبدیل سیستم مختصات ED50 به سیستم WGS84 در ایران

شماره	پارامتر	مقدار	واحد
1	Shift dx	110.329	متر
2	Shift dy	97.728	متر
3	Shift dz	119.847	متر
4	Rotation (x)	-.342261	ثانیه
5	Rotation (y)	-1.163379	ثانیه
6	Rotation (z)	-.271495	ثانیه
7	Scale	0.9999999369	

جدول ۳. پارامترهای تبدیل سیستم ITRF90 به سیستم WGS84 (TRANSIT)

ITRF90 to WGS84(TRANSIT)	dx (m)	dy (m)	dz (m)	ds (ppm)	rx (...)	ry (...)	rz (...)
	0.060	-0.517	-0.223	-0.011	0.0183	-0.0003	0.0070

جدول ۴. پارامترهای تبدیل بین سیستم ITRF2000 و سیستم WGS84 در ایران

پارامترهای تبدیل	dx (m)	dy (m)	dz (m)	ds (ppm)	rx (...)	ry (...)	rz (...)
	0.551	-0.373	-0.817	0.004874	-0.001063	0.009047	-0.011414
دقت پارامترهای تبدیل	dx (m)	dy (m)	dz (m)	ds (ppm)	rx (...)	ry (...)	rz (...)
	0.0028	0.0028	0.0028	0.0050	0.0013	0.0016	0.0014

۸. تبدیل نسخه‌های ITRFyy به سیستم

برای تبدیل نسخه‌های ITRFyy به ITRF2000 می‌توان از مدل ۷ پارامتری یا مدل ۱۴ پارامتری و اطلاعات گنجانده شده در جدول ۵ استفاده نمود. در مدل ۱۴ پارامتری، علاوه بر پارامترهای تبدیل، نرخ تغییرات این پارامترها نیز وجود دارند. این مدل عبارت است [۳] از:

$$\begin{bmatrix} X \\ Y \\ Z \end{bmatrix}_{ITRF\ 2000} = \begin{bmatrix} dx + \dot{dx} \times (t - t_0) \\ dy + \dot{dy} \times (t - t_0) \\ dz + \dot{dz} \times (t - t_0) \end{bmatrix} + (1 + ds + \dot{ds} \times (t - t_0)) \times \tilde{R} \times \begin{bmatrix} X \\ Y \\ Z \end{bmatrix}_{ITRFyy}$$

$$\tilde{R} = \begin{bmatrix} 1 & \{rz + \dot{rz} \times (t - t_0)\} & \{-ry + \dot{ry} \times (t - t_0)\} \\ \{-rz + \dot{rz} \times (t - t_0)\} & 1 & \{rx + \dot{rx} \times (t - t_0)\} \\ \{ry + \dot{ry} \times (t - t_0)\} & \{-rx + \dot{rx} \times (t - t_0)\} & 1 \end{bmatrix}$$

در سال ۱۳۸۶ پارامترهای تبدیل سیستم ITRF2000 به سیستم WGS84 در منطقه ایران به دست آمد [۲]. مختصات ایستگاه‌های IPGN در سیستم ITRF هستند در حالی که شبکه‌های GPS ملی ایران در سیستم WGS84 هستند. بنابراین لازم است برای اتصال شبکه IPGN به شبکه‌های GPS ملی پارامترهای تبدیل در منطقه ایران به دست آید. برای به دست آوردن پارامترهای تبدیل از مدل Bursa-Wolf استفاده شده است. در جدول ۴ این پارامترها گنجانده شده‌اند [۲].

پس از تعیین پارامترهای تبدیل بین دو سیستم مختصات بر روی تعدادی از ایستگاه‌های IPGN که در سطح ایران پراکنده شده بودند و اعمال این پارامترها به تمامی ایستگاه‌های شبکه، مقدار باقیمانده‌ها در مختصات x و y ایستگاه‌ها اکثرا در دامنه ± 5 سانتی متر هستند و مقدار باقیمانده‌ها در مولفه z ایستگاه‌ها، مقداری کوچک و قابل اغماض هستند. این امر نشان‌دهنده این است که نسخه‌های جدید سیستم WGS84 و سیستم ITRF در سطح دقت ۱۰ سانتی متر یکدیگر یکسان هستند.

جدول ۵. پارامترهای تبدیل و نرخ آنها از سیستم ITRF2000 به نسخه‌های قبلی

پارامتر	dx (cm)	dy (cm)	dz (cm)	ds (ppm)	\dot{r}_x (.001°)	\dot{r}_y (.001°)	\dot{r}_z (.001°)	Epoch
نرخ تغییر	\dot{dx} (cm / y)	\dot{dy} (cm / y)	\dot{dz} (cm / y)	\dot{ds} (ppm / y)	$\dot{\dot{r}}_x$ (.001° / y)	$\dot{\dot{r}}_y$ (.001° / y)	$\dot{\dot{r}}_z$ (.001° / y)	
ITRF97	0.670 0.000	0.610 -0.060	-1.850 -0.140	1.550 0.010	0.000 0.000	0.000 0.000	0.000 0.020	1997
ITRF96	0.670 0.000	0.610 -0.060	-1.850 -0.140	1.550 0.010	0.000 0.000	0.000 0.000	0.020 0.020	1997
ITRF94	0.670 0.000	0.610 -0.060	-1.850 -0.140	1.550 0.010	0.000 0.000	0.000 0.000	0.020 0.020	1997
ITRF 93	1.270 -0.290	0.650 -0.020	-2.090 -0.060	1.950 0.010	-0.390 -0.110	0.800 -0.190	-1.140 0.070	1988
ITRF 92	1.470 0.000	1.350 -0.060	-1.390 -0.140	0.750 0.010	0.000 0.000	0.000 0.000	-0.180 0.020	1988
ITRF 91	2.670 0.000	2.750 -0.060	-1.990 -0.140	2.150 0.010	0.000 0.000	0.000 0.000	-0.180 0.020	1988
ITRF 90	2.470 0.000	2.350 -0.060	-3.590 -0.140	2.450 0.010	0.000 0.000	0.000 0.000	-0.180 0.020	1988
ITRF 89	2.970 0.000	4.750 -0.060	-7.390 -0.140	5.850 0.010	0.000 0.000	0.000 0.000	-0.180 0.020	1988
ITRF 88	2.470 0.000	1.150 -0.060	-9.790 -0.140	8.950 0.010	0.100 0.000	0.000 0.000	-0.180 0.020	1988

جدول ۶. پارامترهای تبدیل و نرخ آنها برای تبدیل سیستم ITRF2005 به سیستم ITRF2000 و بر عکس

ITRF	پارامترهای تبدیل در مبدأ ۲۰۰۰							
	dx (mm)	dy (mm)	dz (mm)	ds 10^{-9}	\dot{r}_x (mas)	\dot{r}_y (mas)	\dot{r}_z (mas)	Epoch
2005-2000	0.100	-0.800	-5.800	0.400	0.000	0.000	0.000	2000
2000-2005	0.300	0.300	0.300	0.050	0.012	0.012	0.012	2000

نرخ تغییر پارامترهای تبدیل								
ITRF	\dot{dx} (mm / y)	\dot{dy} (mm / y)	\dot{dz} (mm / y)	\dot{ds} $10^{-9} / y$	$\dot{\dot{r}}_x$ (mas / y)	$\dot{\dot{r}}_y$ (mas / y)	$\dot{\dot{r}}_z$ (mas / y)	Epoch
2005-2000	-0.200	0.100	-1.800	0.080	0.000	0.000	0.000	2000
2000-2005	0.300	0.300	0.300	0.050	0.012	0.012	0.012	2000

۱۱. پانوشت‌ها

- 1- Europe Datum 1959
- 2- World Geodetic System 1984
- 3- International Terrestrial Reference Frame
- 4- Hayford
- 5- International Union for Geodesy and Geophysics
- 6- Department of Defense
- 7- Doppler
- 8- Navy Navigation Satellite System
- 9- TRANSIT
- 10- North American Datum of 1983

در این معادلات dx , dy و dz نرخ تغییرات پارامترهای انتقال (بر حسب متر بر سال), \dot{r}_x , \dot{r}_y و \dot{r}_z نرخ تغییرات پارامترهای دوران (بر حسب رادیان بر سال) و t_0 مبدا (Epoch) سیستم ITRF (به عنوان مثال برای سیستم ITRF96 این کمیت مطابق جدول برابر با ۹۷ است), پارامتر زمان تبدیل و ds نرخ تغییرات مقیاس (بر حسب یک بر سال) هستند.

۹. تبدیل سیستم ITRF2000 به سیستم ITRF2005 و بر عکس

برای تبدیل سیستم‌های ITRF2000 و ITRF2005 به یکدیگر می‌توان از پارامترهای گنجانده شده در جدول ۶ استفاده نمود [۶]. در این جدول واحد mas معرف MiliArcSecond است.

۱۰. نتیجه‌گیری

در تبدیل سیستم ED50 به سیستم WGS84 خطای در حدود چند متر وجود دارد. سیستم ITRS و نسخه‌های این سیستم (ITRFyy) با سیستم WGS84 در سطح دقت یک متر مساوی هستند. نسخه‌های جدید سیستم WGS84 (G730, G873 and G1150) با دقیقی در سطح ۱۰ سانتی متر با سیستم ITRF مطابقت می‌کنند. برای این نسخه‌ها پارامترهای تبدیل رسمی وجود ندارد.

١٢. منابع

۱. عمومی تیمور، سازمان نقشه‌برداری کشور، ۱۳۷۰. گزارش شبکه ژئودزی ماهواره‌ای و کلاسیک درجه یک کشور، تعديل سال ۱۳۷۰.

- 2- Aghamohammadi, A., Nankali, H., Djamour, Y., 2008.
Transformation from ITRF2000 to WGS84 - A Case Study for Iranian
Permanent GPS Network, IPGN, gisdevelopment.

3- Dawson J., Steed J., 2004. International Terrestrial Reference
Frame (ITRF) to GDA94 Coordinate Transformations, Minerals and
Geohazards Division, Geoscience Australia, Version 01.03.2004.

4- <http://en.wikipedia.org/wiki/UT1>

5- <http://en.wikipedia.org/wiki/ED50>

6- <http://itrf.ensg.ign.fr/>

7- <http://en.Wikipedia.org/Wiki/Edso>

- 11- Coordinated Universal Time
 - 12- International Atomic Time
 - 13- Leap Second
 - 14- Universal Time
 - 15- International Celestial Reference System
 - 16- Quasar
 - 17- International Terrestrial Reference System
 - 18-Very Long Baseline Interferometry
 - 19-Global Positioning System
 - 20- Satellite Laser Ranging
 - 21- Lunar Laser Ranging
 - 22- Doppler Orbitography by Radio Positioning Integrated on Satellite
 - 23- Conventional International Origin
 - 24- International Latitude Service
 - 25- Earth Orientation Parameters
 - 26- International Earth Rotation Service
 - 27- Greenwich Mean Sidereal Time

The banner features a large map of Iran with major cities and roads. Overlaid on the map are several images: a small white airplane with green stripes flying in the top left; a large red oil tanker ship at sea in the top center; a blue and white building with a dome in the middle right; and a modern building with glass windows in the bottom right. The text is in Persian.

سازمان نقشه برداری کشور

www.ncceshop.ir

سازمان نقشه برداری کشور

سازمان فروش اینترنتی محصولات

سازمان نقشه برداری کشور

آماده ارائه خدمات به هم میهنان عزیز می باشد.

www.ncceshop.ir

ایتالیابی مضامین اولیه علوم مناظر و مرايا و جایگزین ساختن تصاویر حاوی عمق و معنی به جای عکس های بیانگر سطح و زیبایی را بنا نهاد و مدت ها پس از آن همفری ریتن، مبانی طراحی خویش را بر تلفیق نماها با پس زمینه نمایشگر شرایط موجود مکان قرار داد. پس از آن بود که ایده لایه بندی موضوعی عوارض شکل دهنده محیطی جایگزین نقاشی های دستی و تابلوهای چشم انداز شد و سال ها از این تاریخ گذشت تا یان مک هارگ با تأکید بر تحلیل عوارض زمین مرجع در قالبی طبقه بندی شده و هدفمند، توانم با ارزش های کمی و کیفی ویژه، بنیان گذار سیستمی با تفکر GIS شد تا شاگردانش و علاقمندان علوم مختلف از آن مضامین بنیادی منتفع گردند.

با این همه باید اذعان داشت که سیستمی چون GIS نه محصول ایده های یک نفر و نه صرفاً منتج از تحولات علوم رایانه ای بوده بلکه ثمرة ایده و اندیشه انسان هایی بوده که با تأکید بر بهره گیری از فن آوری روز خویش، در هر چه بیشتر نمایش دادن واقعیت های موجود پیرامون خود و هم چنین تسهیل، توفیق و تامین شرایط بهینه تصمیم گیری ها برای برخوداری از پایداری توسعه تلاش Sustainable Development ورزیده اند. امروزه کاربرد شبیه سازی محیط با تأکید بر این مضامین، رشد و گسترش چشمگیری در مهندسی اطلاعات مکانی و به خصوص GIS پیدا کرده است.

عوامل موافقیت یک GIS در نگرش

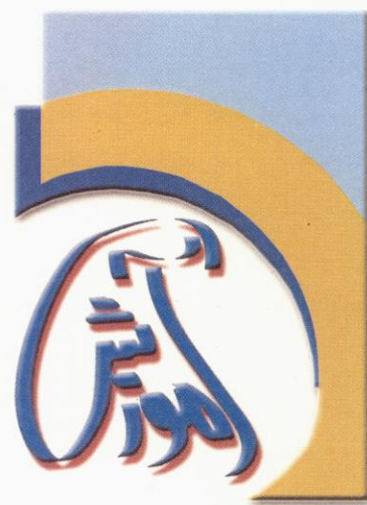
و فهرست هایی از اسامی یا آدرس ها بودند اما با گسترش سخت افزارها و توسعه نرم افزارها انواع متنوعی از داده ها که تجزیه و تحلیل آنها بسیار مشکل و زمانبر می نمود مطرح گردیدند. این در حالی است که با وارد کردن این داده ها در GIS قدرت انواع پردازش ها و تجزیه و تحلیل ها با صرفه جویی در هزینه و زمان سرعت یافت.

اصل اول که علاقمندان به آموزش GIS باید بیناموزند این است که در به کارگیری GIS باید هدف مشخص و روشن باشد و یک

سامانه اطلاعات مکانی صرفاً جهت تولید داده هایی که دیگر سیستم ها از قبیل CDA در اختیار کاربران قرار می دهد محدود نمی گردد، توانایی سامانه های اطلاعات مکانی در ترکیب کردن داده ها Integrate و

عملیات جستجوی مکانی Spatial Search و Overlay انتباطک لایه های مختلفی از داده ها و انواع تحلیل های مکانی پیشرفته که امروزه پاسخگوی حل مسائل بخش های مختلفی از علوم مهندسی و مدیریت محسوب می گردد آن را از دیگر سامانه ها مجزی نموده است. به هر صورت، مجموعه عناصر GIS امکانات تحلیلی فوق العاده قدرتمندی را در اختیار استفاده کنندگان قرار می دهد تا بتوانند از تلفیق انواع اطلاعات مکانی و سایر اطلاعات، نتیجه گیری های مناسبی بنمایند.

برخی از متخصصان معتقدند نخستین بارقه های شکل گیری GIS از بستر علوم زیست محیطی بوده است. زمانی کنفوسیوس گفته بود ارزش یک عکس از ۱۰۰۰ کلمه بیشتر است. بعدها "جوتو" نقاش



آموزش GIS

قسمت سوم

تنهیه و تنظیم: دکتر علیرضا قراگوزلو

همان گونه که در بخش های قبلی تاکید شد سامانه های اطلاعات مکانی جهت جمع آوری و سازماندهی و تجزیه و تحلیل و ارائه اطلاعاتی که به نحوی با موقعیت مکانی داده ها در ارتباط هستند به کار می روند و در این شرایط برای هر پدیده حداقل همواره دو مسئله مدنظر قرار دارد اول، آن پدیده چیست؟ و بعد در کجا قرار دارد؟ از آنجا که در جهان معاصر با حجم انبوهی از داده های مکانی مواجه هستیم که در کلیه برنامه ریزی ها و تصمیم گیری های خرد و کلان به نحوی موثر در ارتباط هستند باید پذیرفت قدرت سیستم های مکانی در صورت بهره مندی صحیح و علمی نقش کارآیی در بهبود تصمیمات خواهد داشت. در GIS های اولیه اشکال مختلف اطلاعات مورد استفاده شامل نقشه، جداولی از داده ها

کشف مجموعه‌ای از روابط و یا اطلاعاتی درباره دنیای اطراف هستیم که بتوانیم در قالب آنها فرم‌هایی از تحلیل‌های مکانی را انجام دهیم پس به ناچار باید برای همه پدیده‌ها و اتفاقات دنیای واقعی مدل‌های مناسبی ارائه دهیم و این مدل‌ها را در بستره از تحلیل‌ها منطبق با ایده‌آل‌های آتی مورد استفاده و کاربردی نمائیم. به زبان ساده مدل‌های درک ما از پدیده‌ها و چگونگی رفتار آنها می‌باشند و زمانی که بخواهیم درباره دنیای واقعی تصمیم‌گیری نماییم باید به مدل خود مراجعه کنیم. اینها موضوعات مهمی از آموزش GIS هستند که تفاوت‌های بارز آن را به عنوان یک سامانه تحلیلی و برنامه‌ریزی و تصمیم‌سازی از سایر سامانه‌ها متمایز می‌نمایند.

کامل‌تری ارائه خواهد شد. البته شکنی نیست که جهت تصمیم‌گیری صحیح ما همواره نیازمند دانشی حتی الامکان جامع درباره محیط اطرافمان هستیم و با انتخاب اطلاعات مناسب و مقتضی در میان پیچیدگی‌های جهان سعی در انتخاب مدل‌های مناسبی داریم تا امکان ارزیابی صحیح برای ما میان وضعیت جهان معاصر و ایده‌آل‌های ما را فراهم نماید. مدل‌های فرم مکانی که برای توصیف و ارائه وضعیت پدیده‌های دنیای واقعی مورد استفاده‌اند در شماره دو آموزش GIS معرفی شدند مانند مدل‌های برداری و مدل‌های تصویری یا رستری و مدل‌های ارتفاعی TIN و ... اما ما نیازمند

سیستمی به آن است مجموعه داده‌ها شامل داده‌های کمی و کیفی از دنیای واقعی با بهره‌گیری از فناوری‌های پیشرفته تهیه می‌شوند. در مورد داده‌ها حذف جزئیات وحذف داده‌های غیر ضروری به دلایل کاهش هزینه و عدم احتیاج به این قبیل داده‌ها و مشکل نمودن تحلیل‌ها و در نتیجه پیچیدگی در تصمیم‌گیری‌ها ضروری است. هم چنین در مورد داده‌هایی که از جهان واقعی جمع آوری می‌گردند باید موضوعاتی بررسی گردد از جمله آن‌ها می‌توان دقت و صحت داده‌ها (Accuracy Precision) به هنگام بودن (Completeness) و کامل بودن (Currency) داده‌هارا با اهمیت دانست که در بخش‌های دیگری از آموزش تهیه شده به طور



ماهواره‌های وجود می‌آمد. از آنجاکه تنها از طریق تصاویر پیوسته امکان بررسی تاثیر فعالیت‌های بشر بر روی محیط زیست و تغییرات طبیعت وجود دارد در صورت بروز چنین خلاصه اطلاعاتی این بررسی‌ها با مشکل جدی مواجه می‌گردند.

با توجه به خورشیدآهنگ بودن، از سال ۱۹۷۲ ماهواره‌های خانواده لنdest صدها هزار تصویر هر ۱۶ روز در زمان‌های ثابت از مناطق مختلف سطح زمین جمع آوری نموده‌اند. ماهواره لنdest ۵ به تهابی تاکنون ۷۰ هزار تصویر از زمین اخذ نموده است که این تصاویر تنها زیبا نمی‌باشند بلکه اطلاعات مفیدی در خصوص تغییرات زمین در اختیار دانشمندان قرار می‌دهند.

سنجدنده TM^۳ این ماهواره با ابعاد ۳۰ متر در سال ۱۹۷۰ طراحی و ساخته شده است که پس از سنجدنده MSS^۳ که دارای وضوح ۷۵ متر بود در این ماهواره مورد استفاده قرار گرفت. سنجدنده TM نمی‌تواند درختان و خانه‌ها را از یکدیگر تفکیک نماید اما می‌تواند مناطقی که در آن جنگل‌ها از بین رفته و یا خانه‌سازی انجام گرفته است را مشخص نماید. اگرچه وضوح هندسی ۳۰ متر کافی به نظر نمی‌رسد اما این وضوح هندسی امکان بررسی مناطق وسیع را فراهم می‌آورد. تصاویر این ماهواره در ۳۵ سال گذشته تغییرات زمین در بسیاری از مناطق را مشخص نموده است. در حال حاضر این تصاویر رایگان در بسیاری از تحقیقات علمی مورد استفاده قرار می‌گیرند. یکی از مشخصاتی که امکان

خود به منظور مطالعه گازهای گلخانه‌ای را به فضا پرتاب نموده است.

ماهواره لنdest ۵ بیست و پنج ساله شد

منبع: www.nasa.gov

ماهواره لنdest ۵ همانند یک ساعت منظم به دور زمین در حال دوران می‌باشد. این ماهواره که با عمر ۳ سال طراحی گردیده بود هم اکنون بیست و دو سال اضافه‌تر از زمان مورد نظر در مدار زمین قرار دارد و مشغول تصویربرداری از زمین می‌باشد. انتظار می‌رود که مدار این ماهواره پس از این همه سال منحرف شده و یا تجهیزات ماهواره با اشکال فنی مواجه گردیده باشد، اما اکنون وضعیت چنین نیست. این ماهواره تاکنون بیش از یک صد و سی هزار بار به دور زمین دوران نموده است در صورتی که طراحی این ماهواره برای پانزده هزار دوران بوده است.

ماهواره لنdest ۵ یکی از هفت ماهواره خانواده لنdest می‌باشد که توسط سازمان فضایی آمریکا ساخته شده و در مدار قرار گرفته و توسط سازمان نقشه‌برداری و زمین‌شناسی^۱ این کشور اداره می‌گردد. هم اکنون تنها ماهواره‌های لنdest ۵ و ۷ فعال می‌باشند. با توجه به شکست پرتاب ماهواره لنdest ۶ در سال ۱۹۹۳ در صورتی که ماهواره لنdest ۵ تنها برای زمان طراحی شده فعالیت می‌نمود، تا سال ۱۹۹۹ که ماهواره لنdest ۷ به فضا پرتاب گردید یک خلاء ۱۲ ساله بین تصاویر این خانواده از



برنامه ژاپن برای پرتاب یک صد ماهواره بسیار کوچک

مترجم: مهندس محمد سربولکی

منبع: www.vector1media.com

کشور ژاپن قصد دارد مجموعه‌ای از یک صد ماهواره بسیار کوچک که ابعاد هر وجه آنها کمتر از ۵۰ سانتی‌متر و وزنی در حدود ۵۰ کیلوگرم خواهد داشت را به فضا پرتاب نماید. این ماهواره‌ها که در واقع در ابعاد یک کوله پشتی می‌باشند طی دو سال توسعه موشک‌های روسی در مدار پایین جو قرار می‌گیرند. هزینه هریک از این ماهواره‌ها ۳ تا ۴ میلیون دلار برآورد شده است.

این ماهواره‌ها به منظور مشاهده و قایعی مانند بلایای طبیعی، ترافیک، ساختار آب و هوا، و وضعیت کشاورزی مورد استفاده قرار می‌گیرند. کشور ژاپن قصد دارد در رقابت با برنامه‌های فضایی کشور چین تحرکی در برنامه‌های فضایی این کشور ایجاد نماد. کشور ژاپن اولین ماهواره خود را در سال ۱۹۷۰ به فضا پرتاب نموده و در دی‌ماه سال گذشته نیز اولین ماهواره

Terra به فضای پرتاب شده بود. قدرت تفکیک مکانی تصاویر اخذ شده از این ماهواره حدود ۵۰۰ تا ۳۰۰ فوت است. این ماهواره محصول مشترک متخصصان آمریکا و ژاپن است.

پانوشت‌ها:

1. Advanced Spaceborne Thermal Emission and Reflection Radiometer
2. Ministry of Economy , Trade and Industry

تصاویر سرویس دید خیابانی گوگل در ژاپن تغییر می‌کند.

منبع: www.news.cnet.com

13 May 2009

گوگل به دنبال شکایت ژاپنی‌هایی که معارض بودند حریم خصوصی آنان به واسطه تصاویر ارائه شده سرویس گوگل نقض شده است؛ تصمیم گرفت برای سرویس دید خیابانی در ژاپن، تجدید نظر کرده و عکس‌های جدیدی را تهیه نماید. در تصویر فوق که در خدمات street view گوگل موجود است به راحتی می‌توان نوع و شماره پلاک خودرو عبوری در یکی از خیابان‌های توکیو

NASA Terra تصاویر اخذ شده از فضای پیمایی به نمایش گذاشته شده است. این مدل ارتفاعی زمینی جدید و رقومی از نزدیک به ۷۳ میلیون جفت تصویر استریوویی جمع آوری شده توسط ASTER^۱ ژاپنی ایجاد شده است. ناسا و وزارت اقتصاد، تجارت و صنعت ژاپن (METI)^۲ این مجموعه اطلاعات را توسعه و گسترش داده‌اند. این نقشه هم‌اکنون به طور آنلاین و به روز برای استفاده کاربران به طور رایگان قرارداد. کاربرد اطلاعات توبوگرافی جدید این نقشه در علوم زمین و چند کاربرد عملی و مهم دیگر است. پیش از این نقشه زمین با پوشش حدود ۸۰ درصد توسط رادارهای ناسا بین طول‌های جغرافیایی ۶۰ درجه شمالی و ۵۷ درجه جنوبی تهیه شده بود. این پوشش اکنون با استفاده از اطلاعات اخذ شده از ASTER به ۹۹ درصد یعنی از طول جغرافیایی ۸۳ درجه شمالی تا ۸۳ درجه جنوبی رسیده است. فاصله هر نقطه اندازه گیری ارتفاعی در اطلاعات جدید ۹۸ فوت می‌باشد.

گفتنی است ASTER^۳ یکی از ۵ ماهواره مشاهداتی زمین است که در دسامبر سال ۱۹۹۹ میلادی با موفقیت از ایستگاه زمینی

فعالیت ماهواره لنdest ۵ را برای این مدت طولانی فراهم آورده طراحی خاص آن و همچنین قدری شناس می‌باشد. یک مخزن اضافی در این ماهواره به نحوی طراحی گردیده که امکان سوخت گیری آن توسط شاتل‌های فضایی وجود دارد. با این سوخت اضافی امکان حفظ مدار ماهواره در ارتفاع ۷۰۵ کیلومتری در این مدت طولانی فراهم گردیده است. این ماهواره هم‌اکنون با مشکلاتی نیز مواجه می‌باشد. برای مثال هیچ سیستم ثبت اطلاعات در این ماهواره وجود نداشته و اطلاعات می‌بایست مستقیماً به ایستگاه‌های زمینی مخابره گردد. این ماهواره فاقد سیستم star trackers بوده و تعدادی از باطری‌های آن نیز از کار افتاده‌اند. پیش‌بینی می‌شود ماهواره‌های لنdest ۵ و ۷ تا سال ۲۰۱۲ به فعالیت خود داده دهند.

پانوشت‌ها:

1-U.S. Geological Survey

2-Thematic Mapper

3-Multispectral Scanner System

کامل‌ترین نقشه توبوگرافی زمین

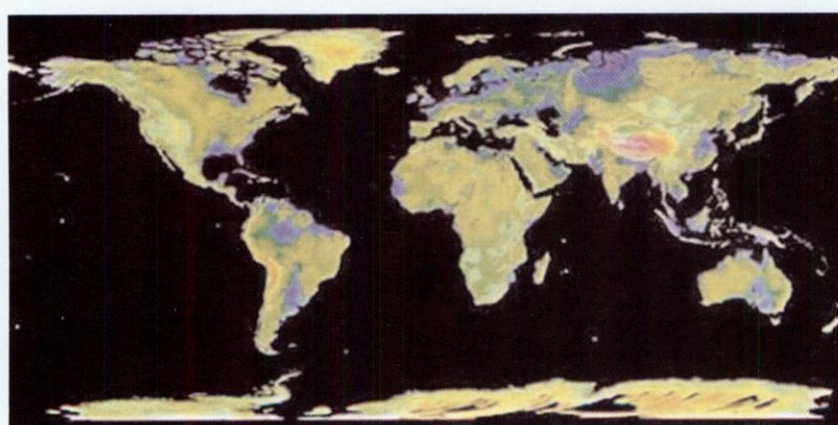
ترجمه: مهندس محمود بخان ور

منبع:

www.gim-international.com

03/07/2009

ناسا و ژاپن نقشه توبوگرافی رقومی جدیدی از Earth Momday^۱ که پوشش کامل‌تری از زمین را دربر می‌گیرد ارائه داده است. در این نقشه توبوگرافی، جزئیات دقیق و کاملی از عوارض زمین با استفاده از



ایجاد ترافیک روان
بزرگراهی از طریق
سامانه اطلاعات مکانی و ردیابی
انگلیسی Masternaut Three X

منبع:

www.gim-international.com

03/07/2009

ارائه دهنده خدمات بزرگراهی شرکت Ringway Jacobs اینگلیس در حال جمع آوری اطلاعات از حافظه دستگاه های Microsoft Virtual Earth نصب شده روی وسائل نقلیه در راستای کمک به مدیریت ترافیک از طریق سامانه اطلاعات مکانی و رדיابی اسماست. تلفیق اطلاعات Masternaut Three X حاصل از ریدیابی وسایل نقلیه به طور به روز، زنده و در زمان واقعی و همچنین استفاده از روش علامت گذاری RFID بر مبنای نرم افزار مدیریت خدمات PDA؛ Ringway Jacobs را قادر به ارائه خدمات امدادی سریع در حد دقیقه در موقع ضروری کرده است.

همچنین شرکت Ringway Jacobs عملکرد و کارآیی گروه‌های ماهر اعزامی به محل حادثه و همچنین تجهیزات مورد استفاده آنها را به طور منظم مورد بازبینی و کنترل قرار می‌دهد. این اقدام گام بسیار موثری برای تشخیص سریع محل وقوع تصادف در بزرگراه‌ها و پاکسازی آنها برای ممانعت از ایجاد ترافیک سنگین به حساب می‌آید.

ماهواره GOES-O با موفقیت به فضا پرتاب شد.

مُنْبَع:

29/06/2009 -www.nasa.gov/goes-o

آخرین ماهواره زیست محیطی GOES-O روز یکشنبه ۲۸ ژوئن سال جاری میلادی از ایستگاه Complex 37 واقع در پایگاه نیروی هوایی Cape Canaveral فلوریدای آمریکا با موفقیت به فضا پرتاب شد.



این ماهواره به منظور پیش‌بینی از شرایط جوی و مونیتورینگ حوادث زیست محیطی در سراسر جهان کاربرد دارد که دومین ماهواره از سری ماهواره‌های محیط زیست GOES-N به حساب می‌آید. ماهواره زیست محیطی GOES-0 در هفتم جولای در آخرين مدار خود قرار گرفت.

پانوشت:

1. Geostationary Operational Environmental Satellite

و همچنین خانه‌ها و فروشگاه‌های اطراف خیابان را بهوضوح مشاهده نمود. زیرمجموعه ژاپنی گوگل با بیان این تضمیم، اعلام کرد با استقرار پایین‌تر دوربین‌ها، عکس‌های جدیدی گرفته خواهد شد تا در تصاویری که از طریق این سرویس نقشه، ارائه می‌شود؛ خانه‌های مردم نشان داده نشود؛ این شرکت همچنین پلاک خودروها را در این تصاویر تیره می‌کند. طبق اعلام پایگاه اینترنتی ژاپنی گوگل، این شرکت امیدوار است خدمات جدید را به نحوی ارائه نماید تا از نظر اجتماعی در ژاپن قابل قبول باشد. سرویس دید خیابانی که دو سال پیش در آمریکا راه‌اندازی شده است به کاربران گوگل امکان دید ۳۶۰ درجه از سطح خیابانها را می‌داد. این سرویس هم اکنون در ژاپن موجود بوده و تصاویر شهرهای بزرگ رانمایش می‌دهد. اقدام گوگل در ژاپن پس از متهم شدن این شرکت از سوی شهروندان و شهرداری‌ها به نقض حریم خصوصی مردم به‌واسطه انتشار تصاویر خانه‌های خصوصی بدون موافقت صاحبان آنها، حد ذات، گرفته است.

در این راستا هفته گذشته سازمان حفاظت از اطلاعات یونان نیز گوگل را از تهیه تصاویر برای دید خیابانی منع و خواستار ارائه توضیحات بیشتر این شرکت در مورد این خدمات و اقدامات انجام گرفته برای حفظ حریم خصوصی شهروندان این کیشه؛ شده است.

دومین مرحله از رصد راداری ماهواره‌ای قسمت‌های شمال و میانی دریای خزر را آغاز نمودند. مطالعه و بررسی موقعیت‌های زیست محیطی این محدوده‌های آبی در پی درخواست دولت جمهوری قزاقستان در سال ۲۰۰۸ میلادی انجام می‌شود.

امسال ScanEx این دیده‌بانی را در مارس شروع کرد و تصمیم دارد مشاهدات خود را تا دوره یخ‌بندان ادامه دهد. نظارت و کنترل موقعیت‌های ناوگانی و اکولوژیکی و زیست محیطی در قسمت‌های شمالی دریای خزر بر مبنای تحلیل و پردازش عملیاتی تصاویر راداری اخذ شده از ماهواره کانادایی RADARSAT-1 و ماهواره ENVISAT-1 صورت می‌پذیرد. این تصاویر راداری به طور real time توسط استگاه دریافت زمینی ScanEx RDC واقع در مسکو اخذ می‌گردد. متخصصان مرکز توسعه و تحقیقات ScanEx نتایج پردازش تصاویر ماهواره‌ای اخذ شده از مناطق شمال و میانی دریای خزر را از طریق پایگاه اطلاعاتی Kosmosnimki Caspian Sea و همچنین بوسیله کانال‌های ارتباطی اینترنتی در اختیار مشتریان خود قرار می‌دهد.

هدف از این دیده‌بانی مشخص نمودن میزان آلودگی نفتی دریا ناشی از نشت آن از کشتی‌های حامل سوخت و همچنین مطالعه و بررسی تاثیر آن در وضعیت اکولوژی و زیست محیطی دریای خزر می‌باشد.

پانوشت:



ریشه درختان در زیر زمین را مشخص نمایند. این امر تاثیر مهمی در استحکام و مقاومت خاک مورد نظر برای مطالعات و محاسبات نشست پی ساختمان‌ها دارد. اطلاعات موجود در ProximiTREE از بیشترین دقیقت برخوردار است که با استفاده از تصاویر هوایی به روز می‌شود. این سامانه به طور مناسب در موارد زیر قابل استفاده است:

- ✓ سیستم‌های اطلاعات مکانی (GIS)
- ✓ کاربردهای Web Mapping
- ✓ بسته‌های طراحی و گرافیکی CAD
- هم اکنون هر دو نسخه ۲ بعدی و ۳ بعدی از نقشه‌های فوق در دسترس است
- و ProximiTREE با استفاده از مجموعه اطلاعات موجود شرکت Bluesky نظری اطلاعات مربوط به ساختمان‌های سه بعدی، مدل‌های زمینی و تصاویر هوایی؛ نقشه‌های رقومی درختان و پوشش گیاهی مرتبط را ارائه می‌دهد.

فن آوری ردیابی و سیستم علامت‌گذاری فعال RFID در قالب یک وسیله قابل حمل طراحی شده است. هنگامی که اتاق کنترل Ringway Jacobs متوجه وقوع یک حادثه می‌شود؛ ناظران بلا فاصله قادر خواهند بود، نزدیکترین گروه کاری و تجهیزات مورد استفاده آنها را از طریق سیستم X Service Pro و PDA سرگروه‌ها؛ به طور مستقیم تعیین و به محل حادثه اعزام نمایند.

نقشه رقومی درخت‌ها

منبع:

www.gim-international.com

02/07/2009

شرکت Bluesky به تهیه نقشه رقومی درخت‌ها و پوشش گیاهی اطراف ساختمان‌ها بر مبنای مدل‌سازی دقیق اقدام نموده است. هدف از تهیه این نقشه کمک به ارزیابان بیمه، سازندگان ساختمان و برنامه‌ریزان و مدیران محلی می‌باشد.

ProximiTREE به طور دقیق موقعیت مکانی و ارتفاع درختان و همچنین وسعت محدوده پوشش گیاهی مناطق مختلف را با جزئیات کامل در قالب نقشه‌های رقومی نمایش می‌دهد. اطلاعات استخراج شده از این نقشه‌ها می‌تواند وسعت پراکندگی

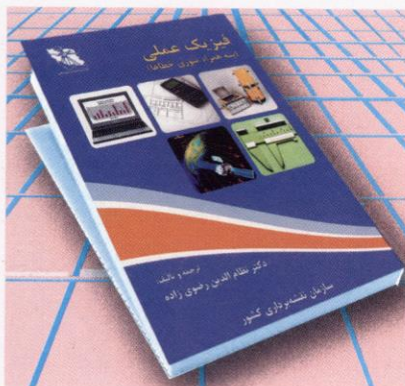
رصد ماهواره‌ای دریای خزر

منبع:

www.gim-international.com

29/06/2009

مرکز توسعه و تحقیقاتی ScanEx و آژانس اکولوژی کاربردی قزاقستان KAPE



نام کتاب: فیزیک عملی (به همراه تئوری خطاهای)

ترجمه و تالیف: دکتر نظام الدین رضوی زاده

ناشر: سازمان نقشه‌برداری کشور

جسم می‌سازند و آن را مورد اندازه‌گیری قرار می‌دهند. در صورتی که شبیه‌سازی به صورت تحلیلی (ریاضی) انجام گیرد، فتوگرامتری را تحلیلی گویند.

کتاب حاضر تلاش می‌کند تا خوانندگان خود را با مفاهیم فتوگرامتری تحلیلی آشنا سازد.

مفاهیم کلی فتوگرامتری و سنجش از دور، دوربین‌های مورد استفاده در فتوگرامتری، طیف الکترومغناطیس، مشخصات عکس‌های هوایی و دستگاه‌های فتوگرامتری مطالب آغازین این کتاب می‌باشد که در فصل اول مورد بررسی قرار می‌گیرد.

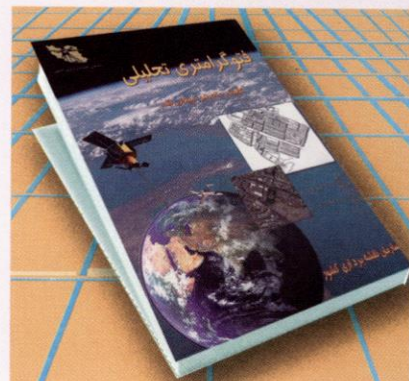
کتاب در فصل دوم به سیستم‌های مختصات اختصاص یافته، و طی آن، به سیستم مختصات عکس، مدل و زمین می‌پردازد.

فصل سوم درباره اجزای فتوگرامتری تحلیلی بحث می‌کند و نحوه تشکیل و توجیه مدل نسبت به زمین با استفاده از دستگاه‌های تحلیلی مورد ارزیابی قرار می‌گیرد و انواع ترانسفورماتیون‌های بین فضای شیء و تصویری مورد بررسی قرار می‌گیرد.

روش‌های موجود در تصحیح هندسی تصاویر ماهواره‌ای در فصل چهارم کتاب توضیح داده می‌شود.

فصل پایانی کتاب بحث ترمیم تحلیلی را به زبانی ساده بیان می‌کند.

این کتاب می‌تواند از منابع فارسی فتوگرامتری برای یاری رساندن به دانشجویان این رشته باشد.



نام کتاب: فتوگرامتری تحلیلی

تالیف: مهندس اصغر میلان لک

ناشر: سازمان نقشه‌برداری کشور

مروری بر کتاب

سازمان نقشه‌برداری کشور، به عنوان متولی امور تهیه نقشه و اطلاعات مکانی، همواره در زمینه تحقیقات و مطالعات علوم مرتبط با این فن آوری و شاخه‌های وابسته، پیش رو بوده، این سازمان پیوسته خود را پشتیبان کسانی دانسته است که در این زمینه‌ها فعالیت جدی دارند.

یکی از گرایش‌های تخصصی نقشه‌برداری فتوگرامتری است.

فتogرامتری، علم و هنر به دست آوردن اندازه‌های حقیقی در فضای جسم، از روی اندازه‌گیری‌های عکسی است؛ که برای رسیدن به این هدف، با شبیه‌سازی، مدلی از

مروری بر کتاب

فیزیک، علم طبیعت است و به ما می‌آموزد که چگونه به درک طبیعت و واقعیت‌های طبیعی برسیم. درک مبانی و مفاهیم فیزیک برپایه‌ی ریاضیات، از ضروریات دنیای پیشرفته امروزی است؛ بشر، کشفیات و پیشرفتهای خود را مرهون داشتمندان بزرگ عالم فیزیک، از جمله گالیله، نیوتون، ماسکول، و انسیشنین می‌داند؛ آن‌ها بودند که مشعل دانش را به دست گرفتند و راه دانش را به انسان نشان دادند؛ علم فیزیک، پایه و اساس تمام دروس تخصصی است و حضور خود را به روشنی و به شکل‌های گوناگون در این دروس به نمایش می‌گذارد.

کتاب فیزیک عملی نگاشته‌ی گوردون اسکوایرز است که از سال ۱۹۵۶ (م) فعالیت علمی خود را به عنوان استاد فیزیک در

«راهنمای تهیه و ارسال مقالات در نشریه علمی و فنی نقشه‌برداری»

۱. حداقل تعداد صفحات مقالات، ۱۰ صفحه کاغذ A4 است که می‌باید فایل کامل آن به صورت تایپ شده به همراه نسخه رقومی آن (دیسکت یا CD) و یک نسخه کاغذی به نشانی: سازمان نقشه‌برداری کشور، تهران، میدان آزادی، بلوار مراجع، صندوق پستی ۱۶۸۴-۱۳۸۵، دفتر نشریه نقشه برداری (دورنگار: ۶۶۰۰۱۹۷۲) و یا توسط پست الکترونیکی (email) به نشانی magazine@ncc.org.ir ارسال شود.
۲. فایل بایستی در محیط Word 2003 یا Word 2000 با فونت BNazanin نازک و اندازه ۱۳ تایپ و شکلها با فرمت tif و رزولوشن 300dpi (بدون بزرگ کردن) در فایلهای جداگانه از متن ارسال شود.
۳. مقالات می‌باید در عین علمی، فنی یا تحقیقی بودن، ساده و روان و همراه ۱۰ کلید واژه فارسی و انگلیسی باشد.
۴. موضوع مقالات می‌باید در مورد مهندسی نقشه‌برداری و ژئوماتیک و علوم مربوطه و ساختار آن شامل چکیده، مقدمه، هدف، پیشنهاد، روش و داده‌های تحقیق، بحث نظری-عملی، نتیجه گیری و منابع باشد.
۵. در عنوان مقالات می‌باید نام و نام خانوادگی نگارنده، میزان تحصیلات، سمت، آدرس پستی محل کار و آدرس پست الکترونیکی (e-mail) ذکر شده باشد.
۶. در ترجمه مقالات انگلیسی بایستی تصویر کامل مقاله و تصویر جلد کتاب یا نشریه‌ای که مقاله در آن به چاپ رسیده، ارسال گردد.
۷. نحوه مرجع نویسی در متن مقاله می‌باید به یکی از صورتهای زیر رعایت شود:

نام نویسنده، سال، مانند: Muller, (پورکمال ۲۰۰۵) (۱۳۸۰)

نام سازمان (در صورت عدم وجود نام نویسنده)، سال، مانند "سازمان نقشه‌برداری کشور، ۱۳۸۵"

عنوان نشریه (در صورت عدم وجود نام نویسنده)، سال، شماره، مانند "نشریه نقشه‌برداری، ۱۳۸۴" شماره ۷۰
۸. نحوه درج منابع و مأخذ در انتهای مقاله باید به یکی از صورتهای زیر رعایت شود:

کتاب: نام خانوادگی و نام نویسنده، سال نشر، عنوان کتاب، نام ناشر، جلد، شماره چاپ، محل نشر، مانند (رفاهی فیروز، ۱۳۸۰)، مبانی توپونیمی، انتشارات سازمان نقشه‌برداری کشور، چاپ اول، تهران)

ترجمه: نام خانوادگی و نام نویسنده، نام خانوادگی و نام مترجم، سال، عنوان کتاب، جلد، شماره چاپ، سال نشر، محل نشر.

مقاله: نام خانوادگی و نام نویسنده، سال، عنوان مقاله، عنوان نشریه، شماره نشریه، محل نشر، از صفحه تا صفحه.

نشریه (در صورت نداشتن نام نویسنده): عنوان مقاله، سال، عنوان نشریه، شماره نشریه، محل نشر، از صفحه تا صفحه.

پایان نامه کارشناسی ارشد یا دکترا: نام خانوادگی و نام نویسنده، عنوان، سال، نام خانوادگی و نام استاد راهنمای، عنوان دانشگاه و گروه مربوطه.

توجه: منابع و مأخذ فهرست منابع فارسی و لاتین بایستی جداگانه و به ترتیب حروف الفبا تنظیم گردند.
۹. نوشتن معادل لاتین اسمای و اصطلاحات غیرفارسی متن در پاتوشت با شماره گذاری پی در پی در انتهای مقاله آورده شوند.
۱۰. شکلها، جداول، نمودارها، تصاویر و نقشه‌ها همراه با زیرنویس دقیق آنها به ترتیبی که در متن آمده‌اند، شماره گذاری شوند.
۱۱. مقالات در صورت تأیید هیأت تحریریه به ترتیب اولویت در نوبت چاپ قرار گرفته و به منظور تأمین بخشی از هزینه‌های تهیه و ارائه مقاله، پس از چاپ در نشریه مبلغی به عنوان حق التأییف به نگارنده مقاله پرداخت می‌گردد.

دانشگاه کمبریج آغاز نمود. ایشان پس از بازنیستگی، از سال ۱۹۹۱ (م) به عنوان استادی ممتاز، تصدی دپارتمان فیزیک دانشگاه کمبریج را بر عهده داشته و کتاب‌ها و مقالات دیگری علاوه بر این کتاب را به جامعه‌ی علمی ارائه نموده است.

کتاب از سه قسمت اساسی تشکیل شده است، قسمت اول بررسی آماری داده‌ها؛ قسمت دوم روش‌های تجربی؛ و در نهایت قسمت سوم کتاب که آزمایش‌ها و محاسبات می‌باشد، از مهم‌ترین مباحث کتاب، تئوری خطاهای روش کمترین مربعات است، که در این بخش مبحث‌های مهم کاربردی، از جمله اندازه گیری مطلق شتاب تقلیل زمین، ساعت‌های اتمی، و سیستم موقعیت‌یابی جهانی (GPS) مورد بررسی قرار گرفته‌اند.

تمرین‌های طرح شده در پایان بیشتر فصل‌ها، به همراه پاسخ برخی از آن‌ها، و آوردن هفت ضمیمه‌ی سودمند در انتهای کتاب، به فاید کتاب افزوده است.

نتایج تجربیات تدریس تئوری خطاهای به صورت خلاصه در انتهای کتاب و تعاریف تکمیلی در مورد خطاهای، بررسی روش کمترین مربعات، برای منحنی‌های درجه‌ی دوم و بالاتر، به همراه منحنی رگرسیون و ضریب هم‌بستگی، تلاش متوجه است در جهت کامل تر شدن کتاب که در انتهای کتاب مشتمل بر یازده بخش گنجانده شده است.

هدف از چاپ این کتاب، ارائه‌ی راهنمایی مناسب برای دانشجویان و دانش‌پژوهان نقشه‌برداری بوده؛ لذا مطالعه این کتاب به آنها پیشنهاد می‌شود.

Intergraph International Users' Conference 2009

Washington, D.C., USA

15-18 June

For more information:

E: intergraph2009@intergraph.com

W: www.intergraph2009.co

GSDI-11 World Conference

Rotterdam, The Netherlands

15-19 June

For more information:

T: +1 (508) 7200325

W: gsdi.org/gsdi11

Geoinformation Forum Japan 2009

Pacific Yokohama, Japan

17-19 June

For more information:

T: +81 (45) 221 2155

W: www.jsurvey.jp/eng-geoforum2009.htm

1st Open Source GIS UK Conference

Nottingham, United Kingdom

22-23 June

For more information:

W: www.opensourcegis.org.uk

Optech's 1st Innovative Lidar Solutions Conference

Toronto, Canada

24-26 June

For more information:

T: +1 (416) 653 4555

F: +1 (416) 593 1805

E: optech@andlogistix.com

W: www.optechlsc.com

JULY

9th Conference on Optical 3D Measurement Techniques

Vienna, Austria

01-03 July

For more information:

W: www.info.tuwien.ac.at/ingeo/optical3d/

6th International Symposium on Spatial Data Quality

St. John's, NF, Canada

05-08 July

For more information:

E: issdq2009@mun.ca

W: www.mun.ca/issdq2009

OEPT 2009

Orlando, FL, USA

10-13 July

For more information:

W: www.ICTconfer.org/oep

2009 ESRI Survey & Engineering GIS Summit

San Diego, CA, USA

11-14 July

For more information:

E: segsummit@esri.com

W: www.esri.com

ESRI International User Conference 2009

San Diego, CA, USA

13-17 July

For more information:

E: uc@esri.com

W: www.esri.com

AGSE 2009

Stuttgart, Germany

13-18 July

For more information:

E: AGSE2009@hft-stuttgart.de

W: www.applied-geoinformatics.org

Geobrasil 2009

Sao Paulo, Brasil

14-16 July

For more information:

E: info@geobr.com.br

W: www.geobr.com.br

GeoWeb 2009

Vancouver, BC, Canada

27-31 July

For more information:

T: +1 (604) 484 2768

E: chiebert@galdosinc.com

W: www.geowebconference.org

AUGUST

10th South East Asian Survey Conference

Bali, Indonesia

04-07 August

For more information:

E: dkirana@bakosurtanal.go.id

GeoInformatics 2009

Fairfax, USA

12-14 August

For more information:

E: info@geoinformatics2009.org

W: www.geoinformatics2009.org

Map Asia 2009

Singapore

18-20 August

For more information:

T: +603 21 447 635

F: +603 21 447 636

E: info@mapasia.org

W: www.mapasia.org

ICA Symposium - True-3D in Cartography

Dresden, Germany

24-28 August

For more information:

T: +49 (351) 463 36292

F: +49 (351) 463 37049

E: sneumann@intercom.de

W: www.kartographie.geo.tu-dresden.de/true3DinCartography09

IAG 2009 - Geodesy for Planet Earth

Buenos Aires, Argentina

31-04 August

For more information:

W: www.iag2009.com.ar

SEPTEMBER

52nd Photogrammetric Week

Stuttgart, Germany

7-11 September

For more information:

T: +49 (711) 685 83201

F: +49 (711) 685 83297

E: martina.kroma@ifp.uni-stuttgart.de

W: www.ifp.uni-stuttgart.de

6th International Symposium on Digital Earth

Beijing, China P.R.

09-12 September

For more information:

T: +86 (10) 5888 7297

F: +86 (10) 5888 7302

E: ISDE6@ceode.ac.cn

W: www.isde6.org

RICS COBRA 2009

Cape Town (South Africa)

10-11 September

For more information:

W: www.cobra2009.com

Intergeo 2009

Karlsruhe, Germany

22-24 September

For more information:

F: +49 (721) 133 6209

T: +49 (721) 133 6274

ION GNSS 2009

Savannah, GA, USA

22-25 September

For more information:

W: www.ion.org

OCTOBER

7th FIG Regional Conference

Hanoi, Vietnam

19-22 October

For more information:

W: www.fig.net/vietnam

n-DGIS 2009

Ibnu Sina (Malaysia)

21-22 October

For more information:

W: www.fksg.utm.my/isprswgl15

UN-SPIDER Bonn Workshop

Bonn(Germany)

21-23 October

For more information:

W: www.unspider.org

AfricaGIS 2009

Kampala, Uganda

26-30 October

For more information:

E: svorster@eis-africa.org

W: www.eepylishers.co.za

APRIL	Geospatial Infrastructure Solutions Conference 2009	MAY	JUNE
GEO-9		12th AGILE International Conference	2009 GeoTec Event
Coventry, UK 01-04 April For more information: E: sharon@pvpubs.demon.co.uk W: www.pvpubs.com	Tampa, FL, USA 19-22 April For more information: T: +1 (303) 337 0513 F: +1 (303) 337 1001 E: info@gita.org W: www.gita.org/gis	Hanover, Germany 02-06 May For more information: T: +49 (511) 762 3589 F: +49 (511) 762 2780 E: info@agile2009.de W: www.ikg.uni-hannover.de/agile	Vancouver, BC, Canada 01-04 June For more information: E: dmorgan@m2media360.com W: www.geotecevent.com
GISRUK 2009	GEO Siberia 2009	ESRI Business GIS Summit 2009	12th AGILE International Conference
Durham, North East England 01-03 April For more information: T: +44 (191) 222 6353 F: +44 (191) 222 6502 E: dave.fairbairn@newcastle.ac.uk W: www.ceg.ncl.ac.uk/gisruk2009	Novosibirsk, Russian Federation 21-23 April For more information: T: +7 (383) 210 6290 F: +7 (383) 225 9845 E: nenash@sibfair.ru W: www.geosiberia.sibfair.ru	Denver (CO, USA) 04-06 May For more information: W: www.esri.com/bizsummit/	Hanover, Germany 02-05 June For more information: T: +49 (511) 7623589 F: +49 (511) 762 2780 E: info@agile2009.de W: www.ikg.uni-hannover.de/agile/
PhotoModeler Training	XCES, the Exhibiton for Construction and Engineering Surveying	Remote Sensing Arabia	ISPRS Hannover Workshop 2009
Las Vegas (USA) 06-08 April W: www.photomodeler.com/products/training/collision/default.htm	York, UK 22-23 April For more information: T: +44 (161) 972 3110 E: xces@ices.org.uk W: www.ices.org.uk/xces.php	Riyadh, Saudi Arabia 08-11 May For more information: T: +1 (608) 204 9122 F: +1 (661) 420 5127 W: www.remotesensingarabia.com/	Hannover, Germany 02-05 June For more information: T: +49 (511) 762 2482 F: +49 (511) 762 2483 E: boettcher@ipi.uni-hannover.de W: www.ipi.uni-hannover.de/ipi-workshop.html
Geo-evenement 2009	14th International Scientific and Technical Conference Geoforum 2009	BE Conference 2009	GeoGathering 2009
Paris, France 07-09 April For more information: T: +33 (1) 4523 0816 F: +33 (1) 4824 0181 E: info@ortech.fr W: www.ortech.fr	Lviv, Ukraine 23-25 April For more information: E: ssavchuk@polynet.lviv.ua W: www.lp.edu.ua/geo-forum	Charlotte, NC, USA 11-14 May For more information: W: www.bentley.com	Estes Park, CO, USA 08-09 June For more information: T: +1 (970) 225 8920 E: kris.nesse@geogathering.com W: www.geogathering.com
Map Middle East 2009	CIWEM Annual Conference 2009: Water and the Global Environment	16th Saint Petersburg International Conference on Integrated Navigation Systems	TIEMS 16th Annual Conference
Dubai, UAE 14-16 April For more information: T: +971 (4) 204 5350/204 351 F: +971 (4) 204 5352 E: info@mapmiddleeast.org W: www.mapmiddleeast.org	London (UK) 29-30 April For more information: W: www.ciwem.org/events/annual_conference	Saint Petersburg, Russia 25-27 May For more information: W: www.elektropribor.spb.ru/cnf/icins09/enfrset.html	Istanbul, Turkey 09-11 June For more information: T: +90 (212) 285 3782 F: +90 (212) 285 3782 E: sahin@itu.edu.tr W: www.tiems2009.org
Remote Sensing-the Synergy of High Technologies		EOGC2009	2009 FME International User Conference
Moscow, Russia 15-17 April For more information: T: +7 (495) 988-7511 F: +7 (495) 988-7533 E: conference@sovzond.ru W: www.sovzondconference.ru		Chengdu, P.R. China 25-29 May For more information: E: eogc2009@gmail.com W: www.eogc2009.com.cn	Whistler, BC, Canada 11-12 June For more information: E: fmeuc@safe.com W: www.fmeuc.com



سازمان نقشه برداری کشور

18250000

نقشه ۱:۲۵۰۰۰۰۰ شهرهای:

انارک
عشق آباد
حاجی آباد
هامون جازموریان
بندرگنگان
لکرکوه
لار
رشت

www.ncc.org.ir

سازمان نقشه برداری کشور
منتشر کرد

NCC 250K

ANARAK
انارک

مقياس
1:۲۵۰۰۰۰۰

NCC 250K
ESHQĀBĀD
عشق آباد

مقياس
1:۲۵۰۰۰۰۰

NCC 250K
HAJĪ ĀBĀD
حاجی آباد

مقياس
1:۲۵۰۰۰۰۰

NCC 250K
HĀMŪN JĀZMURĀYĀN
هامون جازموریان

مقياس
1:۲۵۰۰۰۰۰

NCC 250K
BANDAR E KĀNGĀN
بندرگنگان

مقياس
1:۲۵۰۰۰۰۰

NCC 250K
LĀKĀRKHŪ
لکرکوه

مقياس
1:۲۵۰۰۰۰۰

NCC 250K
LĀR
لار

مقياس
1:۲۵۰۰۰۰۰

NCC 250K
RĀSHT
رشت

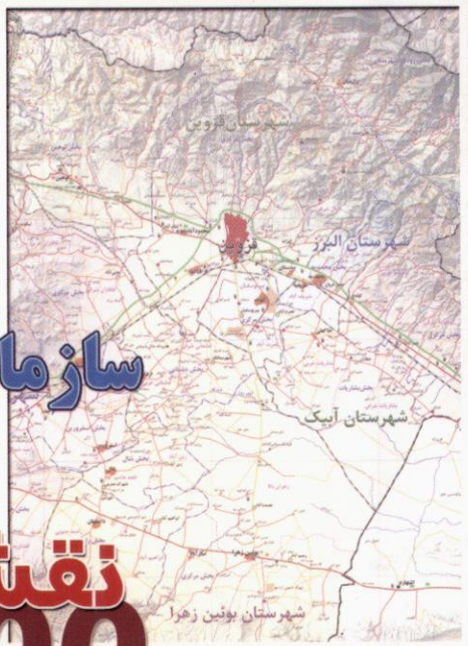
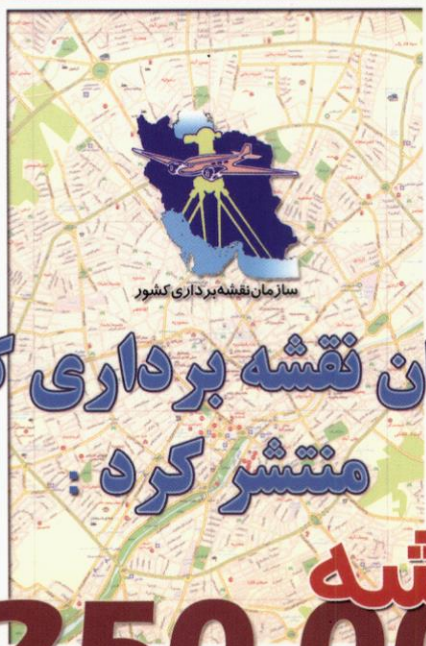
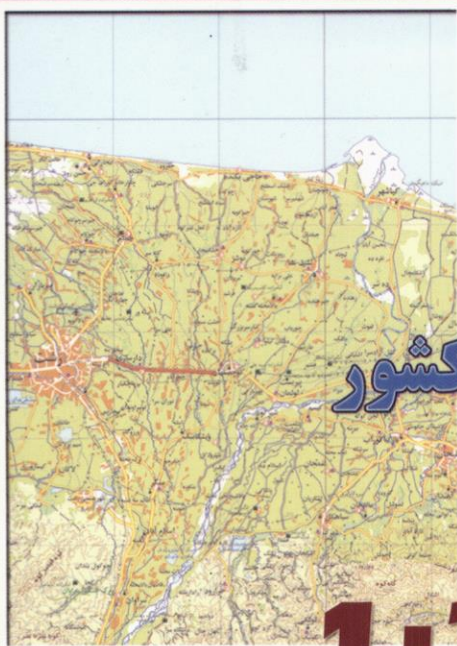
مقياس
1:۲۵۰۰۰۰۰

NCC 250K
YĀZD
یزد

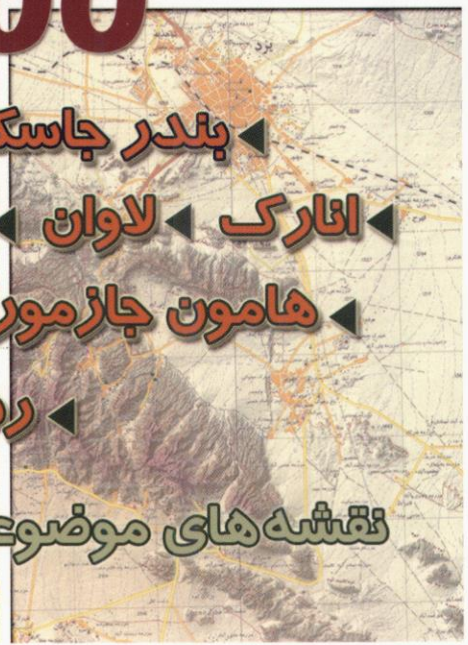
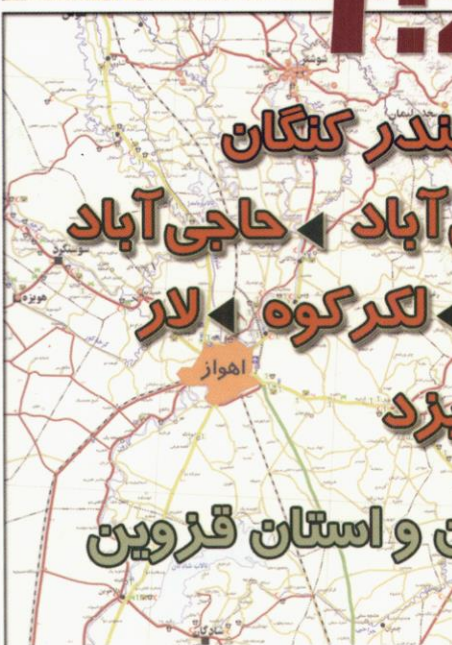
مقياس
1:۲۵۰۰۰۰۰

NCC 250K
Graphic M. Ahmadzadī
سازمان نقشه برداری کشور

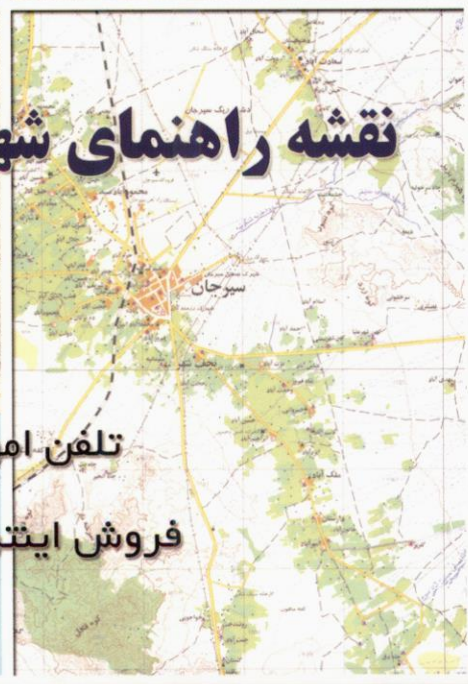
مقياس
1:۲۵۰۰۰۰۰



**نقشه
1:250 000**



نقشه‌های موضوعی: استان خوزستان و استان قزوین



نقشه راهنمای شهری: لاهیجان ، اردبیل و فرخ شهر

تلفن امور مشتریان: ۶۶۰۷۱۱۰۵

فروش ایترنی: www.nccceshop.ir